

บทที่ 5

การทดลอง และผลการทดลอง

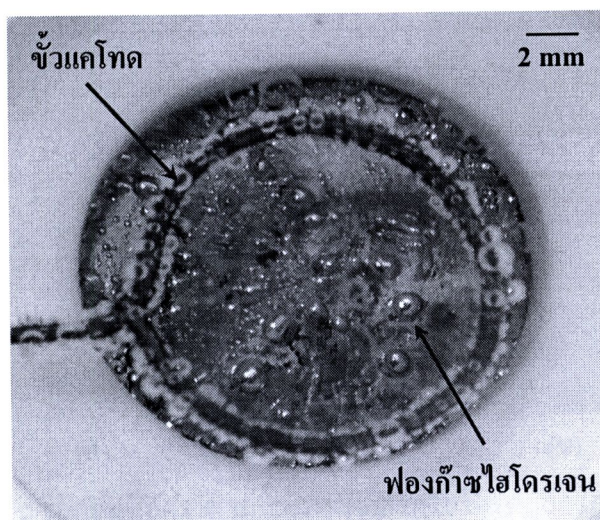
ในบทนี้ จะกล่าวถึงผลการทดลองในการสร้างชั้นนาโนพอร์สซิลิคอน และผลการตรวจจับไออกະเจเนของสารเคมีของชั้นนาโนพอร์สซิลิคอน ซึ่งมีรายละเอียดต่างๆ ดังนี้

5.1 การทดลองเพื่อศึกษาผลของความเข้มข้นสารละลายกรดไฮโดรฟลูออริกในการสร้างชั้นนาโนพอร์สซิลิคอน

การทดลองนี้ทำการศึกษาถึง ผลของความเข้มข้นสารละลายกรดไฮโดรฟลูออริกต่อน้ำบริสุทธิ์ เป็น 5:1, 4:1, 3:1, 2:1 และ 1:1 โดยปริมาตรตามลำดับ เปรียบเทียบกับ ผลของความเข้มข้นสารละลายกรดไฮโดรฟลูออริกต่อเอทานอล เป็น 5:1, 4:1, 3:1, 2:1 และ 1:1 โดยปริมาตรตามลำดับ ในการสร้างชั้นนาโนพอร์สซิลิคอนด้วยวิธีการแอลโอดีไซเซชัน

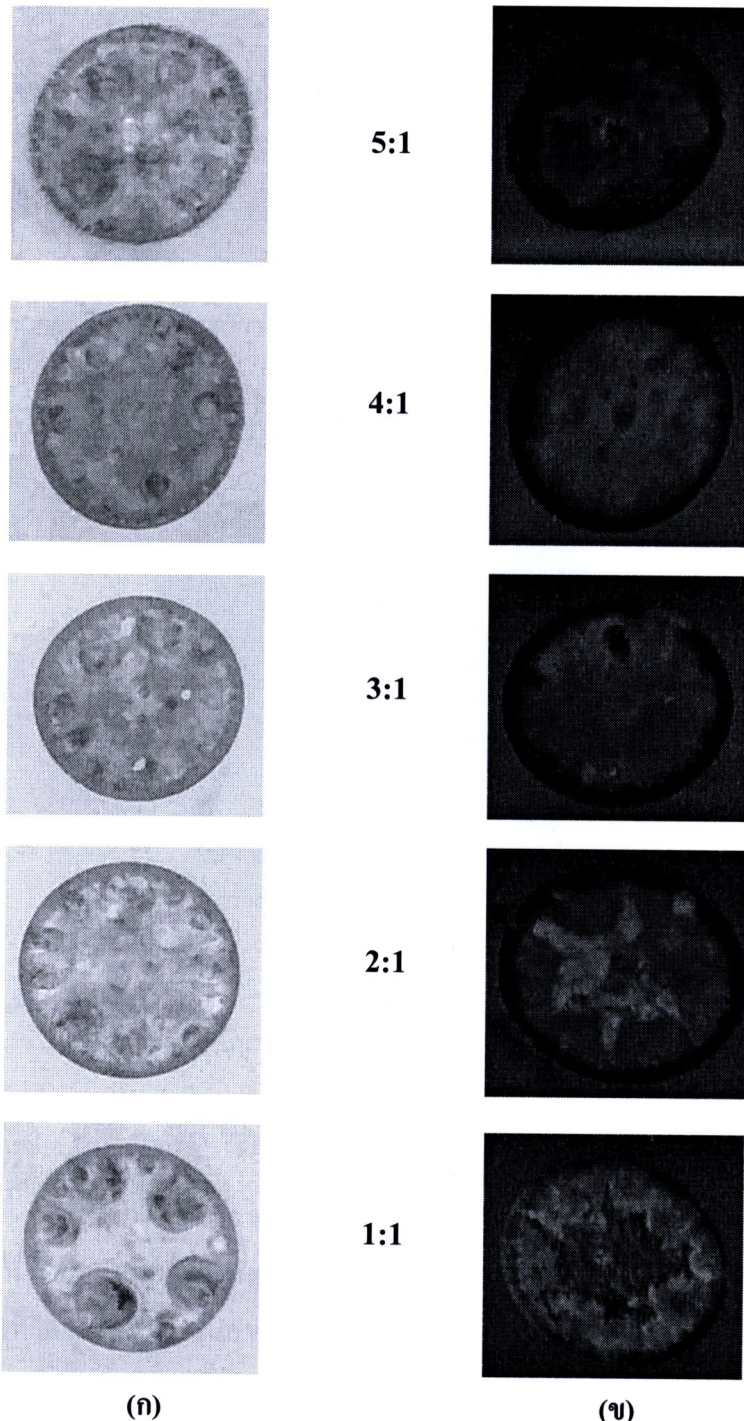
5.1.1 ผลของความเข้มข้นสารละลายกรดไฮโดรฟลูออริกต่อน้ำบริสุทธิ์

ทำการสร้างชั้นนาโนพอร์สซิลิคอนด้วยวิธีการแอลโอดีไซเซชัน โดยใช้เวลา 10 นาที ความหนาแน่นกระแสไฟฟ้า 10 mA/cm^2 อัตราส่วนสารละลายกรดไฮโดรฟลูออริก (47.8%) ต่อน้ำบริสุทธิ์ เป็น 5:1, 4:1, 3:1, 2:1 และ 1:1 โดยปริมาตรตามลำดับ จะเกิดฟองก๊าซไฮโดรเจนรวมตัวกันเป็นกลุ่มฟองก๊าซขนาดใหญ่ แสดงดังรูปที่ 5.1



รูปที่ 5.1 การสร้างชั้นนาโนพอร์สซิลิคอน อัตราส่วนสารละลายกรดไฮโดรฟลูออริกต่อน้ำบริสุทธิ์ เป็น 4:1 โดยปริมาตร

จากรูปที่ 5.1 สังเกตได้ว่า ขณะทำการสร้างชั้นนาโนพอร์สซิลิคอนจะเกิดฟองกําชา ไฮโครเจนเป็นจำนวนมากที่บริเวณผิวน้ำของแผ่นซิลิคอนที่สัมผัสกับสารละลายกรดไฮโครฟลูออริก ส่งผลทำให้เกิดความไม่สม่ำเสมอของชั้นนาโนพอร์สซิลิคอน แสดงดังรูปที่ 5.2

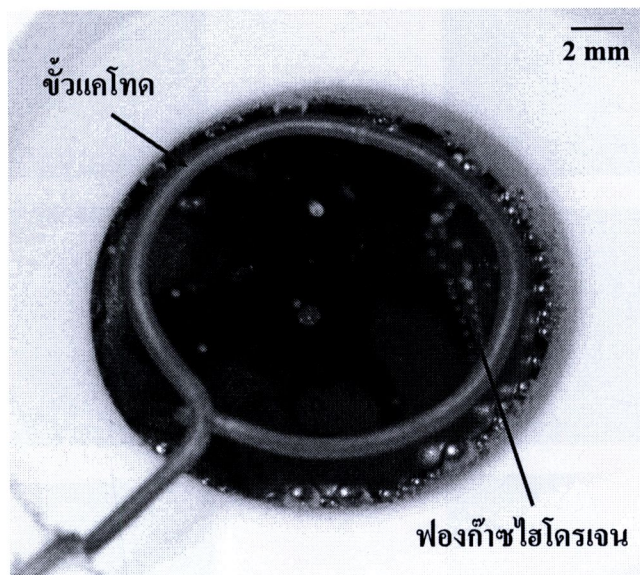


รูปที่ 5.2 ชั้นนาโนพอร์สซิลิคอนที่อัตราส่วนสารละลายกรดไฮโครฟลูออริกต่อน้ำบริสุทธิ์ต่างๆ กัน
 (ก) พื้นผิวของชั้นนาโนพอร์สซิลิคอน (ข) การเรืองแสงของชั้นนาโนพอร์สซิลิคอน

จากรูปที่ 5.2 (ก) สังเกตได้ว่าที่อัตราส่วนสารละลายน้ำต่อไไฮโดรฟลูออริกต่อน้ำบริสุทธิ์เป็น 4:1 เกิดชั้นนาโนพอร์สซิลิคอนที่มีความสม่ำเสมอมากกว่าอัตราส่วนอื่นๆ และสังเกตสมบัติการเรืองแสงของชั้นนาโนพอร์สซิลิคอนด้วยการฉายแสงจากหลอดแบล็คไลท์ (black light) ที่มีความยาวคลื่น 365 nm ดังรูปที่ 5.2 (ข) สังเกตได้ว่าที่ อัตราส่วน 4:1 มีการเรืองแสงสม่ำเสมอมากกว่า อัตราส่วนอื่นๆ

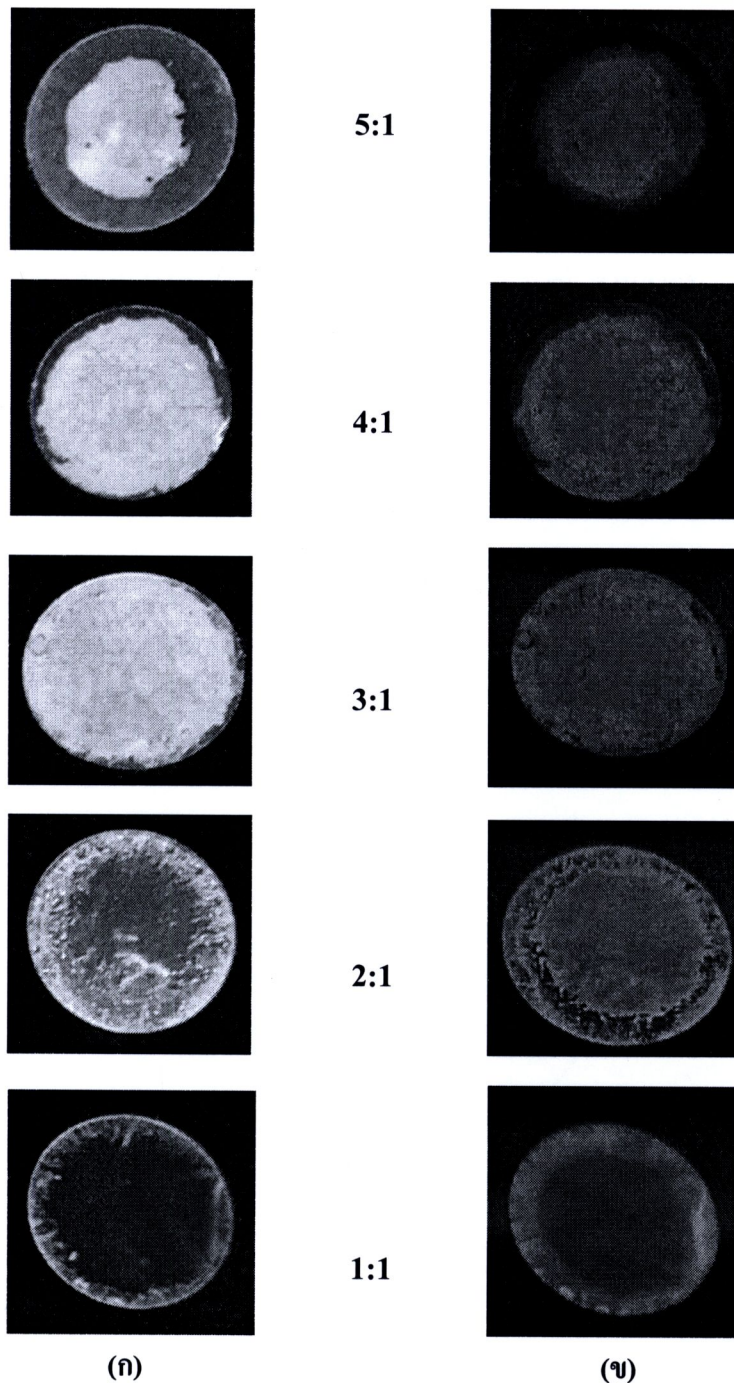
5.1.2 ผลของการขึ้นชั้นสารละลายน้ำต่อไไฮโดรฟลูออริกต่อการทำanol

ทำการสร้างชั้นนาโนพอร์สซิลิคอนด้วยวิธีการแอลลอยด์เชชัน โดยใช้เวลา 10 นาที ความหนาแน่นกระแสไฟฟ้า 10 mA/cm^2 อัตราส่วนสารละลายน้ำต่อไไฮโดรฟลูออริก (47.8%) ต่อเอทานอล (100%) เป็น 5:1, 4:1, 3:1, 2:1 และ 1:1 โดยปริมาตรตามลำดับ ได้ช่วยลดการเกิดฟองก๊าซไไฮโดรเจนที่รวมตัวกันเป็นกลุ่มฟองก๊าซขนาดใหญ่ แสดงดังรูปที่ 5.3



รูปที่ 5.3 การสร้างชั้นนาโนพอร์สซิลิคอน อัตราส่วนสารละลายน้ำต่อไไฮโดรฟลูออริกต่อเอทานอล เป็น 4:1 โดยปริมาตร

จากรูปที่ 5.3 สังเกตได้ว่าขณะทำการสร้างชั้นนาโนพอร์สซิลิคอนจะเกิดฟองก๊าซไไฮโดรเจนเป็นจำนวนน้อย ส่งผลทำให้ชั้นนาโนพอร์สซิลิคอนที่ได้มีความสม่ำเสมอมากกว่าชั้นนาโนพอร์สซิลิคอนที่ได้จากการอัตราส่วนสารละลายน้ำต่อไไฮโดรฟลูออริกต่อน้ำบริสุทธิ์ เนื่องจากเอทานอลไปช่วยลดแรงตึงผิวของสารละลายน้ำต่อไไฮโดรฟลูออริกทำให้ลดจำนวนฟองก๊าซไไฮโดรเจนที่รวมตัวกันเป็นกลุ่มฟองก๊าซที่มีขนาดใหญ่บริเวณผิวน้ำของแผ่นซิลิคอนซึ่งเป็นสาเหตุทำให้สารละลายน้ำต่อไไฮโดรฟลูออริกสามารถเข้าถึงผิวน้ำของแผ่นซิลิคอนได้ดี จึงได้ชั้นนาโนพอร์สซิลิคอนที่มีความสม่ำเสมอ แสดงดังรูปที่ 5.4

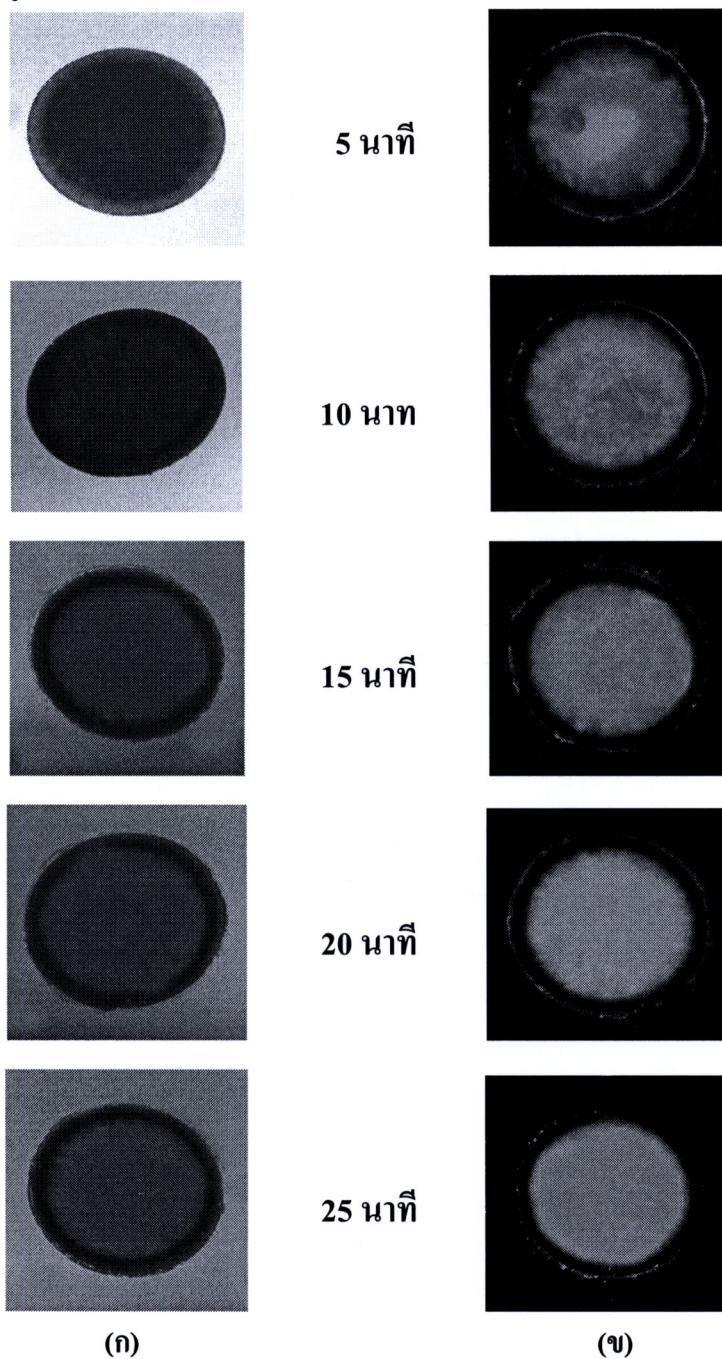


รูปที่ 5.4 ชั้นนาโนพอร์สซิลิค่อนที่อัตราส่วนสารละลายกรดไฮโดรฟลูออริกต่อเอทานอลต่างๆ กัน
 (ก) พื้นผิวของชั้นนาโนพอร์สซิลิค่อน (ข) การเรืองแสงของชั้นนาโนพอร์สซิลิค่อน

จากรูปที่ 5.4 (ก) สังเกตได้ว่าที่อัตราส่วน 4:1 มีความสม่ำเสมอมากกว่าอัตราส่วนอื่นๆ พร้อมทั้งมีโครงสร้างที่ไม่เประบangingแตกหักง่าย ซึ่งที่อัตราส่วน 3:1, 2:1, 1:1 มีโครงสร้างที่เประบangingแตกหักง่าย และสังเกตสมบัติการเรืองแสงของชั้นนาโนพอร์สซิลิค่อนด้วยการฉายแสงจากหลอดแบล็คไลต์ ดังรูปที่ 5.4 (ข) สังเกตได้ว่าที่อัตราส่วน 4:1 มีการเรืองแสงสม่ำเสมอมากกว่า อัตราส่วนอื่นๆ

5.2 การทดลองเพื่อศึกษาผลของเวลาในการสร้างชั้นนาโนพอร์สซิลิคอน

การทดลองนี้ทำการศึกษาถึง ผลของเวลาในการสร้างชั้นนาโนพอร์สซิลิคอนด้วยวิธีการแอโนไดซ์เซ็น โดยทำการสร้างชั้นนาโนพอร์สซิลิคอนด้วยวิธีการแอโนไดซ์เซ็น ใช้อัตราส่วนสารละลายนครดไฮโดรฟลูออริกต่อเอทานอลเป็น 4:1 โดยปริมาตร ความหนาแน่นกระแสไฟฟ้า 10 mA/cm^2 ที่เวลา 5 นาที, 10 นาที, 15 นาที, 20 นาที และ 25 นาที ตามลำดับ ได้ชั้นนาโนพอร์สซิลิคอน แสดงดังรูปที่ 5.5



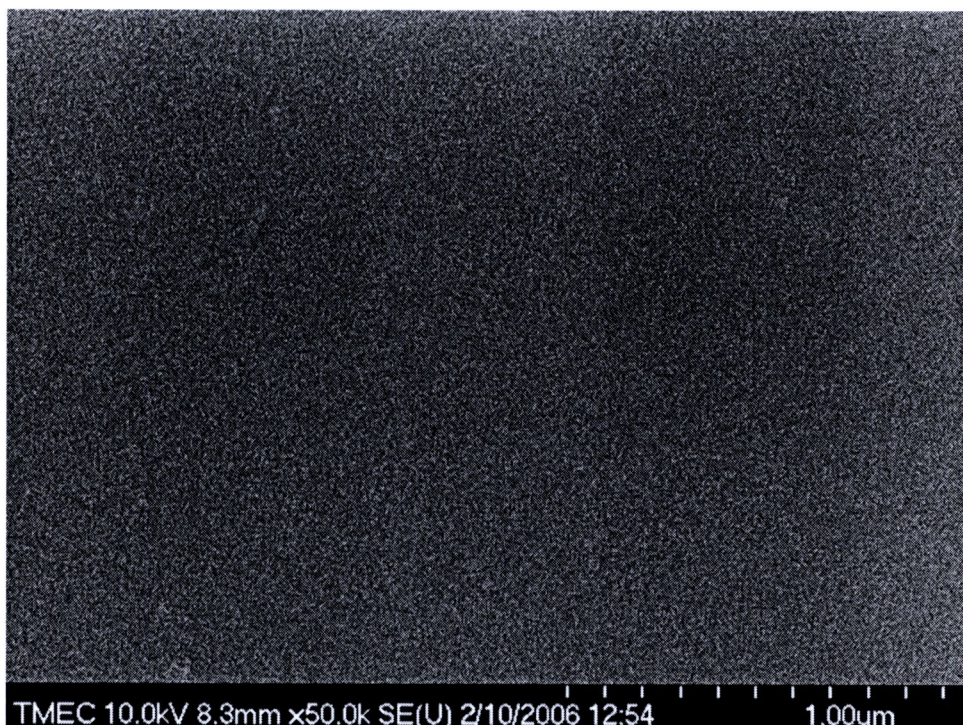
รูปที่ 5.5 ชั้นนาโนพอร์สซิลิคอนที่เวลาในการสร้างต่างๆ กัน

(ก) พื้นผิวของชั้นนาโนพอร์สซิลิคอน (ข) การเรืองแสงของชั้นนาโนพอร์สซิลิคอน

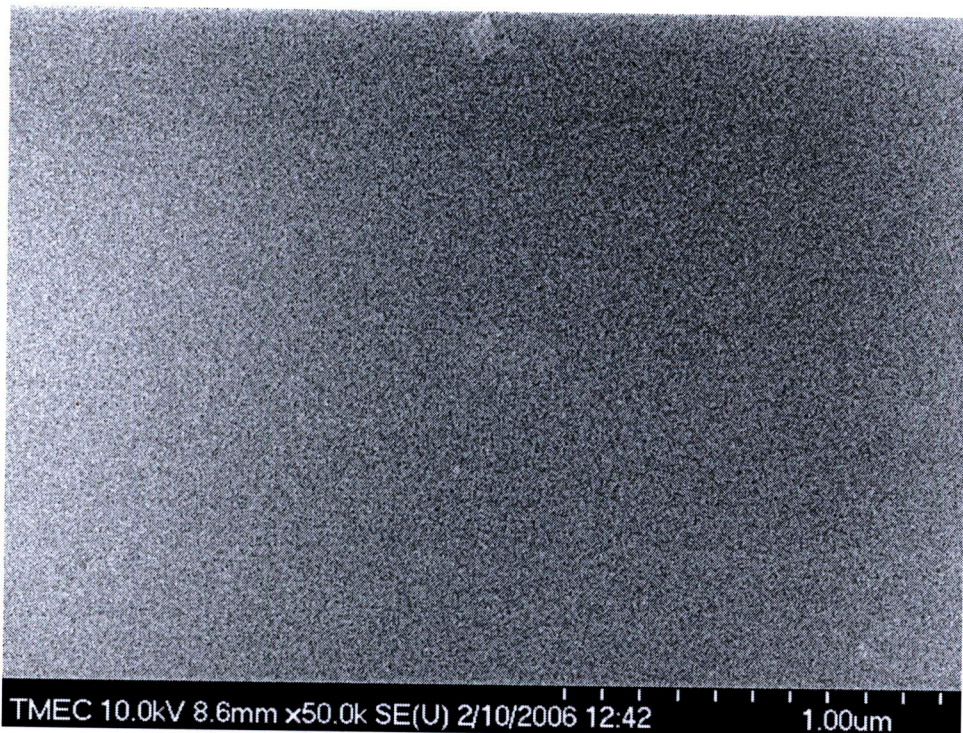
จากรูปที่ 5.5 (ก) สังเกตได้ว่าเมื่อใช้เวลามากขึ้นสีของชั้นนาโนพอร์สซิลิคอนจะมีการเปลี่ยนแปลงจากสีน้ำตาลเข้มไปเป็นสีน้ำตาลอ่อน และเมื่อสังเกตสมบัติการเรืองแสงของชั้นนาโนพอร์สซิลิคอน ด้วยการฉายแสงจากหลอดแบล็คไอล์ต์ แสดงดังรูปที่ 5.5 (ข) สังเกตได้ว่าสีในการเรืองแสงของชั้นนาโนพอร์สซิลิคอนจะมีการเปลี่ยนแปลงจากสีส้มเข้มไปเป็นสีส้มอ่อน เนื่องจากใช้เวลาในการกัดเพิ่มมากขึ้น โครงสร้างของชั้นนาโนพอร์สซิลิคอนจึงถูกกัดนานขึ้นส่งผลทำให้ความพรุนของชั้นนาโนพอร์สซิลิคอนมีเพิ่มมากขึ้น จึงทำให้สีพื้นผิวเปลี่ยนแปลงจากสีน้ำตาลเข้มไปเป็นสีน้ำตาลอ่อน และการเรืองแสงของชั้นนาโนพอร์สซิลิคอนจึงมีการเปลี่ยนแปลงจากสีส้มเข้มไปเป็นสีส้มอ่อน

5.2.1 ผลการทดลองศึกษาโครงสร้างของชั้นนาโนพอร์สซิลิคอนด้วยเครื่อง SEM

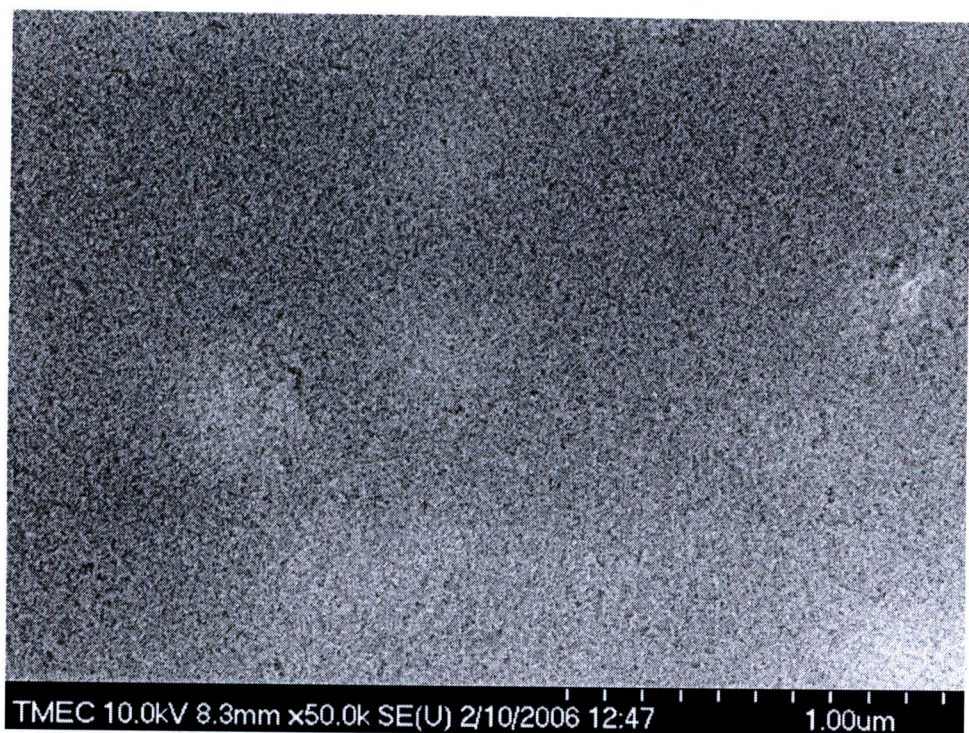
ทำการศึกษาลักษณะโครงสร้างของชั้นนาโนพอร์สซิลิคอนที่สร้างโดยอัตราส่วนสารละลายนครคไฮโดรฟลูออริกต่อเอทานอลเป็น 4:1 โดยปริมาตร ความหนาแน่นกระแสไฟฟ้า 10 mA/cm^2 ที่เวลา 5 นาที, 10 นาที, 15 นาที และ 20 นาที ตามลำดับ ซึ่งได้นำไปวิเคราะห์ลักษณะโครงสร้างด้วยเครื่อง SEM แสดงดังรูปที่ 5.6-5.13



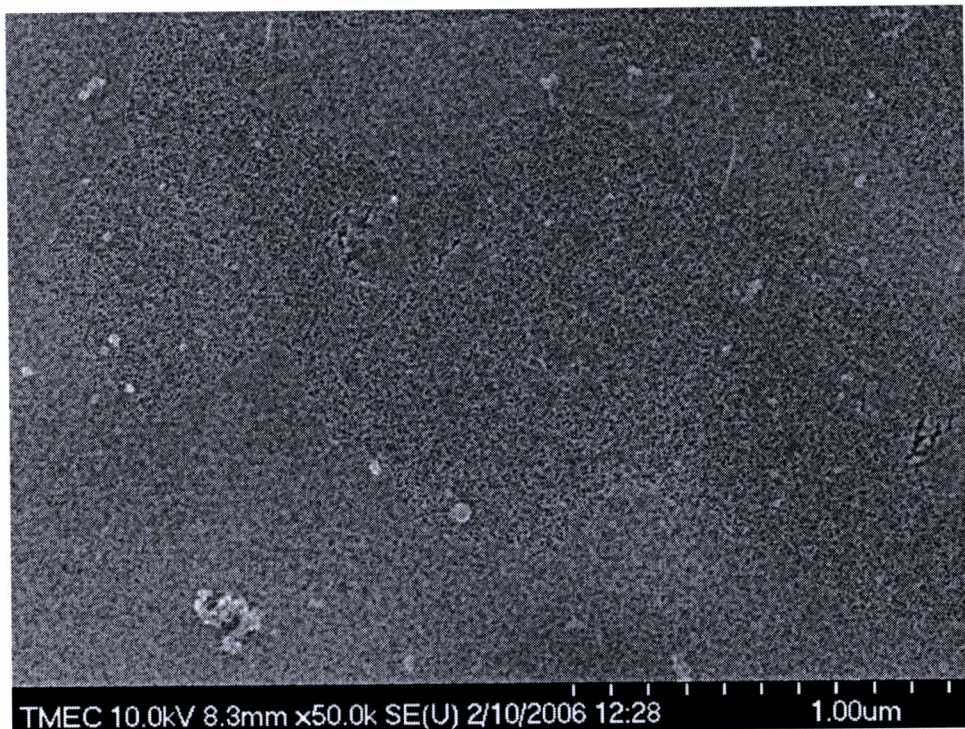
รูปที่ 5.6 ภาพพื้นผิวของชั้นนาโนพอร์สซิลิคอน โดยใช้เวลาในการสร้าง 5 นาที



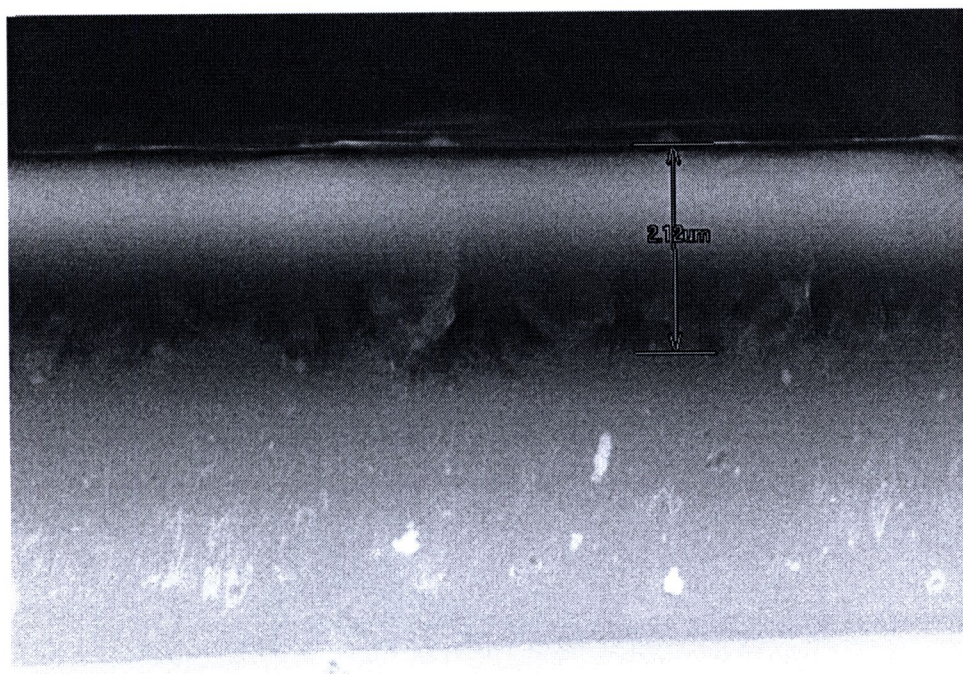
รูปที่ 5.7 ภาพพื้นผิวของชั้นนาโนพอร์สซิลิคอน โดยใช้เวลาในการสร้าง 10 นาที



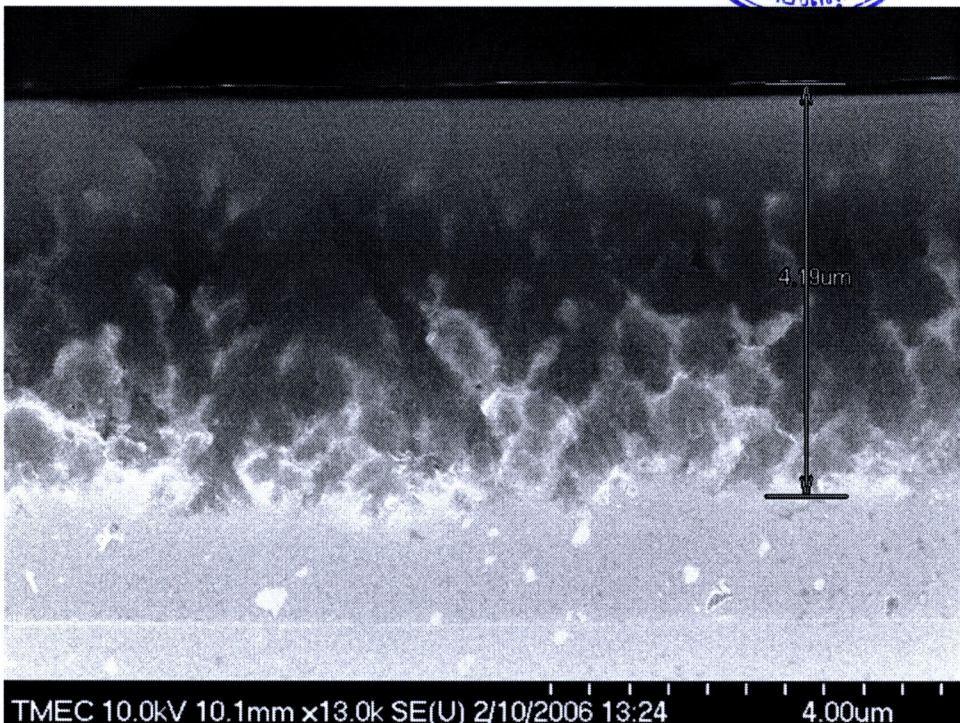
รูปที่ 5.8 ภาพพื้นผิวของชั้นนาโนพอร์สซิลิคอน โดยใช้เวลาในการสร้าง 15 นาที



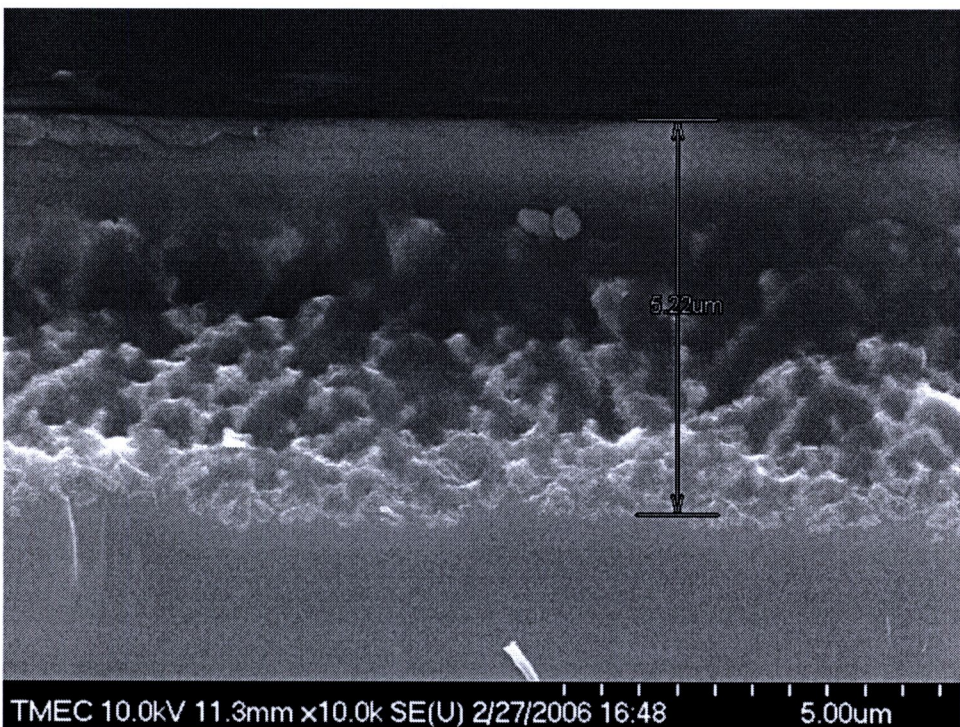
รูปที่ 5.9 ภาพพื้นผิวของชั้นนาโนพอร์ซิลิคอน โดยใช้เวลาในการสร้าง 20 นาที



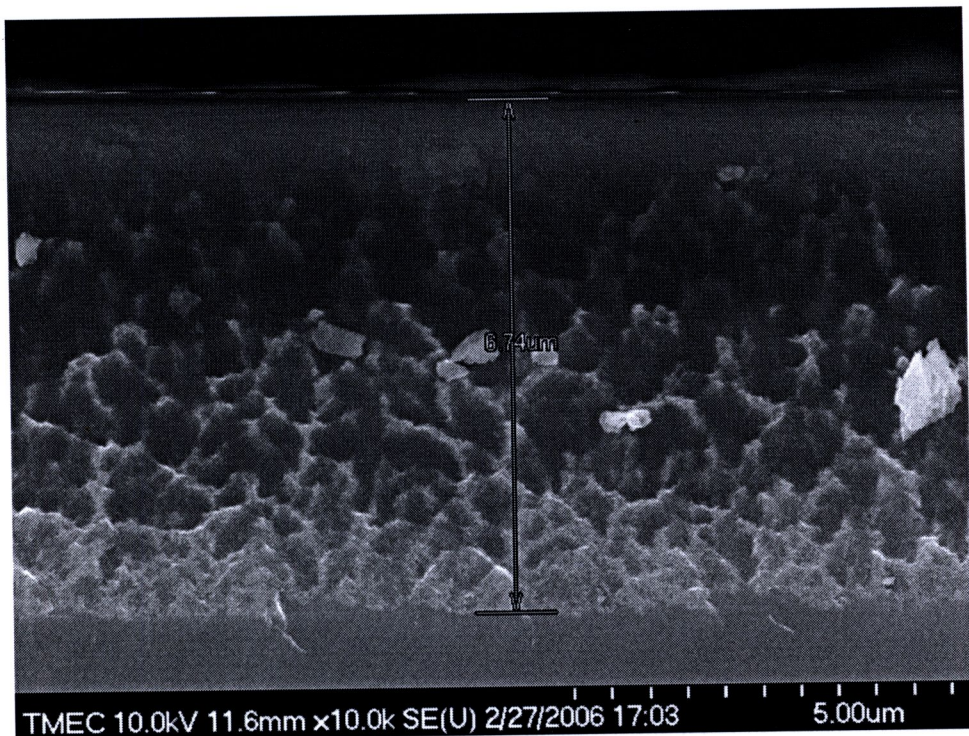
รูปที่ 5.10 ภาพตัดขวางของชั้นนาโนพอร์ซิลิคอน โดยใช้เวลาในการสร้าง 5 นาที



รูปที่ 5.11 ภาพตัดขวางของชั้นนาโนพอร์ซิลิคอน โดยใช้เวลาในการสร้าง 10 นาที



รูปที่ 5.12 ภาพตัดขวางของชั้นนาโนพอร์ซิลิคอน โดยใช้เวลาในการสร้าง 15 นาที

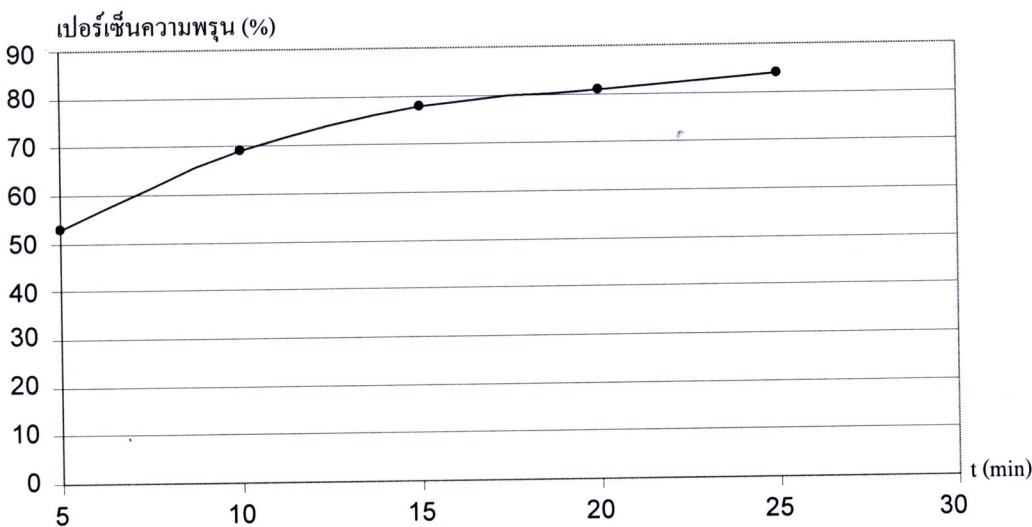


รูปที่ 5.13 ภาพตัดขวางของชั้นนาโนพอร์สซิลิคอน โดยใช้เวลาในการสร้าง 20 นาที

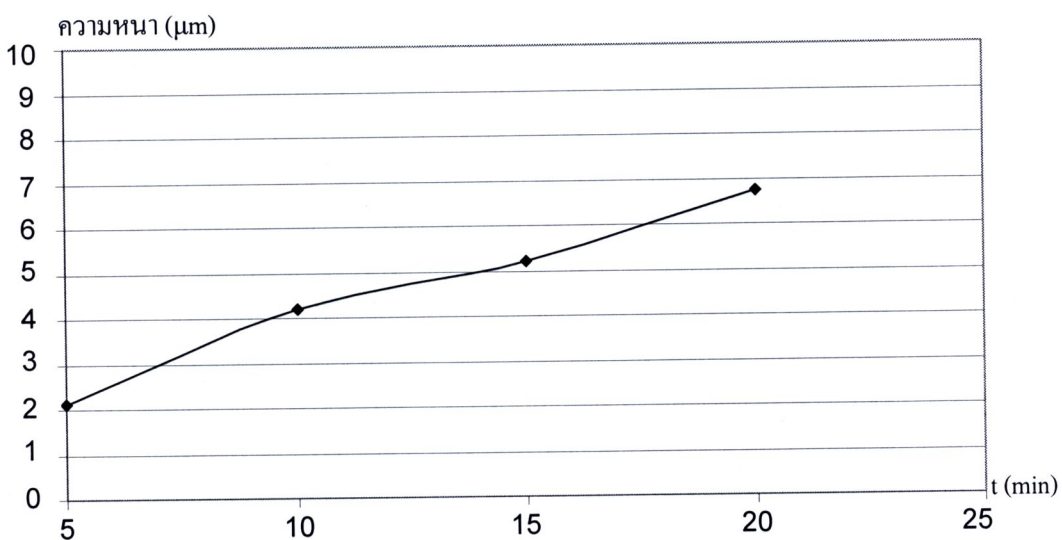
จากรูปที่ 5.6-5.9 เมื่อทำการเพิ่มเวลาในการสร้างชั้นนาโนพอร์สซิลิคอนด้วยวิธีการแอโนไดซ์เซชันจะมีผลทำให้พื้นผิวของชั้นนาโนพอร์สซิลิคอนถูกกัดและทำให้รูพรุนของชั้นนาโนพอร์สซิลิคอนมีขนาดใหญ่ขึ้น และจากรูปที่ 5.10-5.13 เมื่อทำการเพิ่มเวลาในการสร้างชั้นนาโนพอร์สซิลิคอนด้วยวิธีการแอโนไดซ์เซชันจะมีผลทำให้ชั้นนาโนพอร์สซิลิคอนมีความหนาเพิ่มมากขึ้น เนื่องจากเมื่อใช้เวลาในการแอโนไดซ์เซชันมากขึ้นจะส่งผลทำให้เกิดการกัดชั้นนาโนพอร์สซิลิโอนนานขึ้น ส่งผลทำให้รูพรุนของชั้นนาโนพอร์สซิลิคอนมีขนาดใหญ่ขึ้น และความหนาของชั้นนาโนพอร์สซิลิคอนเพิ่มมากขึ้น

5.2.1 การศึกษาความพรุน และความลึกของชั้นนาโนพอร์สซิลิคอน

ทำการศึกษาความพรุน และความลึกของชั้นนาโนพอร์สซิลิคอนที่สร้างโดยอัตราส่วนสารละลายนครคิโตรฟลูออริกต่อเอทานอลเป็น 4:1 โดยปริมาตร ความหนาแน่นกระแสไฟฟ้า 10 mA/cm^2 ที่เวลา 5 นาที, 10 นาที, 15 นาที, 20 นาที และ 25 นาที ตามลำดับ โดยอ้างอิงความพรุน [49] และความหนา จากรูปที่ 5.6 ถึง 5.13 และคำนวณหาค่าความพรุนจากการเบอร์เซ็นต์ความพรุนโดยใช้หลักการเปลี่ยนแปลงน้ำหนักของวัสดุก่อนและหลังการเกิดรูพรุน (ดังที่ได้กล่าวมาแล้วในหัวข้อ 4.2.1) และดังรูปที่ 5.14-5.15



รูปที่ 5.14 ความสัมพันธ์ระหว่างเปอร์เซ็นต์ความพรุนของชิ้นนาโนพอร์สซิลิคอนกับเวลาในการแอโนไดซ์ชัน

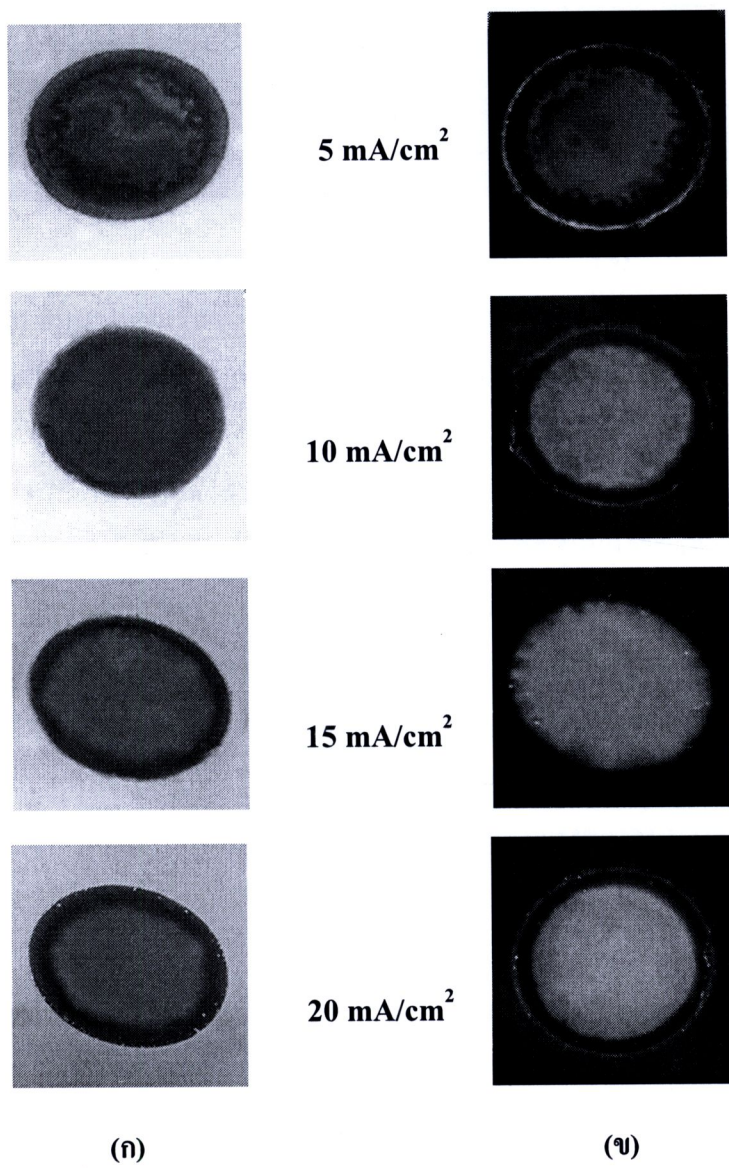


รูปที่ 5.15 ความสัมพันธ์ระหว่างความหนาของชิ้นนาโนพอร์สซิลิคอนกับเวลาในการแอโนไดซ์ชัน

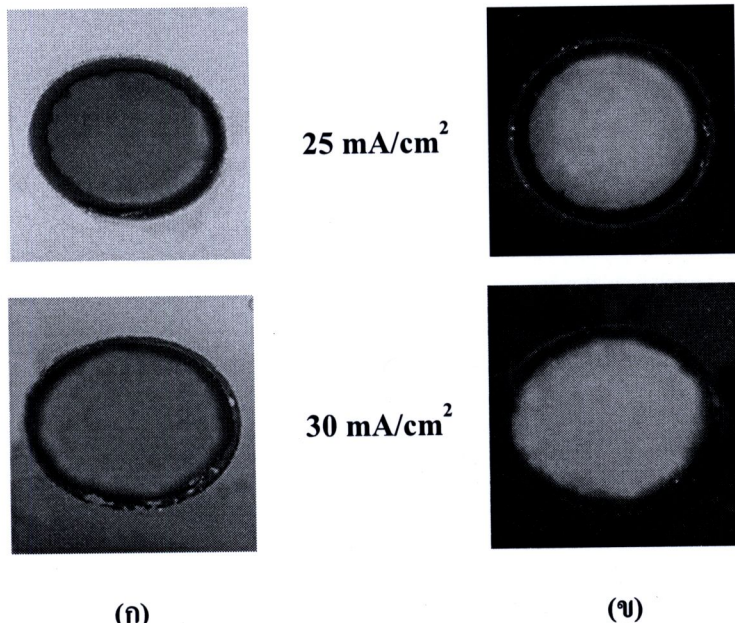
จากรูปที่ 5.14-5.15 เมื่อทำการเพิ่มเวลาในการสร้างชิ้นนาโนพอร์สซิลิคอนด้วยวิธีการแอโนไดซ์ชันจะมีผลทำให้ชิ้นนาโนพอร์สซิลิคอนมีเปอร์เซ็นต์ความพรุนเพิ่มขึ้น และมีผลทำให้ชิ้นนาโนพอร์สซิลิคอนมีความหนาเพิ่มมากขึ้น ซึ่งแสดงว่าเวลาในการแอโนไดซ์ชันมีผลทำให้เกิดการเปลี่ยนแปลงทั้งเปอร์เซ็นต์ความพรุนและความลึกของชิ้นนาโนพอร์สซิลิคอนด้วย

5.3 การทดลองเพื่อศึกษาผลของความหนาแน่นกระแสไฟฟ้าในการสร้างชั้นนาโนพอร์สซิลิคอน

การทดลองนี้ทำการศึกษาถึง ผลของความหนาแน่นกระแสไฟฟ้าในการสร้างชั้นนาโนพอร์สซิลิคอนด้วยวิธีการแอโนไดซ์เซ็น โดยใช้อัตราส่วนสารละลายกรดไฮโดรฟลูออเริกต่อเอทานอลเป็น 4:1 โดยปริมาตร เวลา 10 นาที ความหนาแน่นกระแสไฟฟ้า 5 mA/cm^2 , 10 mA/cm^2 , 15 mA/cm^2 , 20 mA/cm^2 , 25 mA/cm^2 และ 30 mA/cm^2 ได้ชั้นนาโนพอร์สซิลิคอน แสดงตั้งรูปที่ 5.16



รูปที่ 5.16 ชั้นนาโนพอร์สซิลิคอนที่ความหนาแน่นกระแสไฟฟ้าในการสร้างต่างๆ กัน
 (ก) พื้นผิวของชั้นนาโนพอร์สซิลิคอน (บ) การเรืองแสงของชั้นนาโนพอร์สซิลิคอน

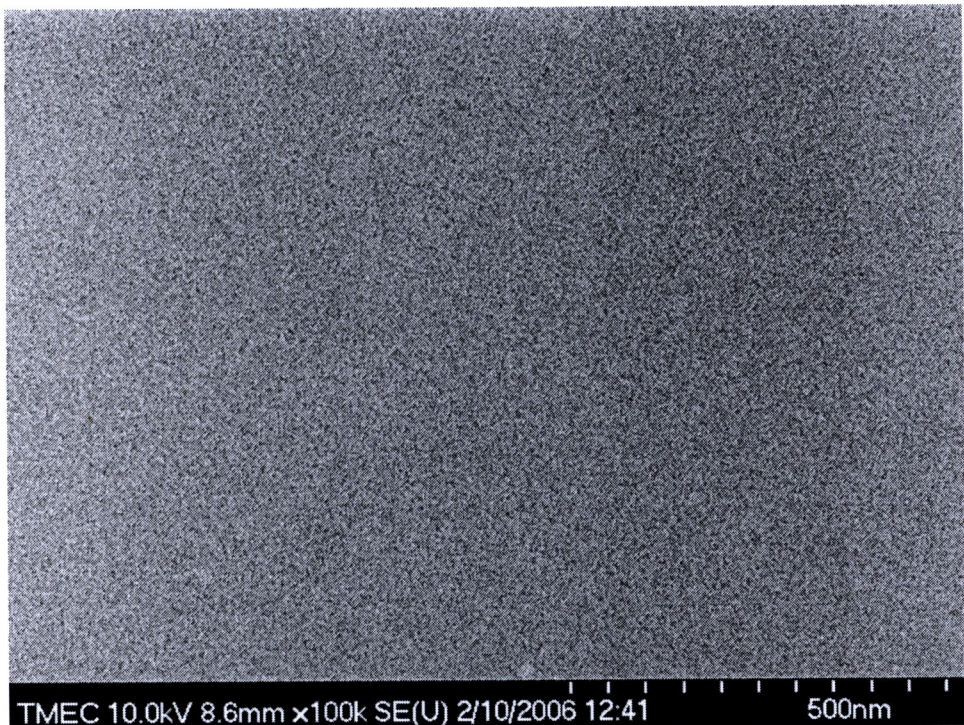


รูปที่ 5.16 (ต่อ) ชั้นนาโนพอร์สซิลิคอนที่ความหนาแน่นกระแสไฟฟ้าในการสร้างต่างๆ กัน
 (ก) พื้นผิวของชั้นนาโนพอร์สซิลิคอน (ข) การเรืองแสงของชั้นนาโนพอร์สซิลิคอน

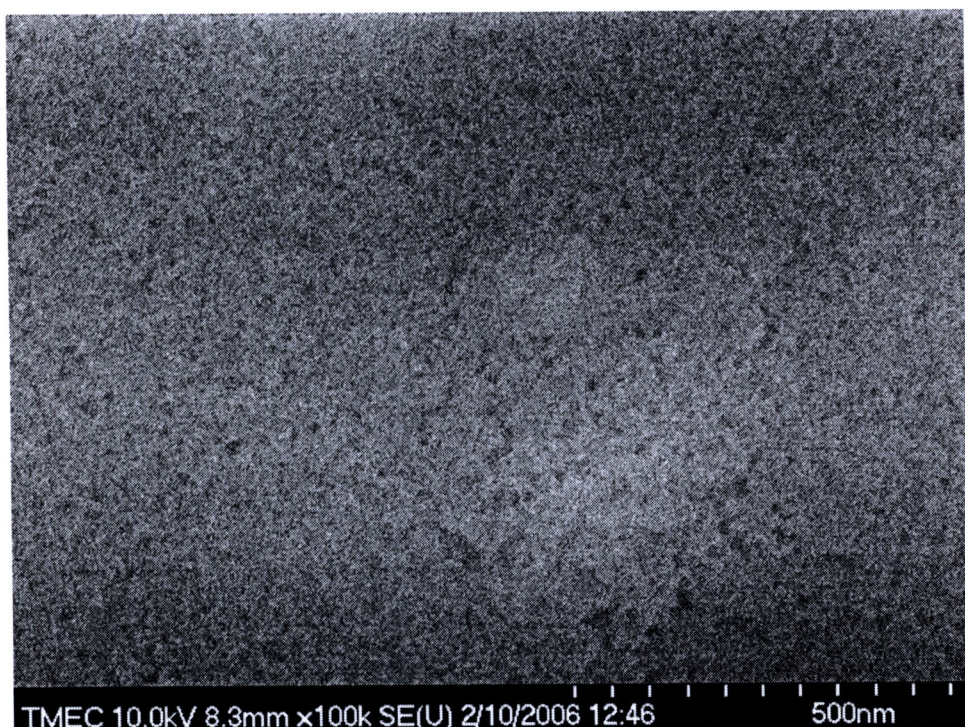
จากรูปที่ 5.16 (ก) สังเกตได้ว่าเมื่อใช้เวลามากขึ้น สีของชั้นนาโนพอร์สซิลิคอนจะมีการเปลี่ยนแปลงจากสีน้ำตาลเข้มไปเป็นสีน้ำตาลอ่อน และเมื่อสังเกตสมบัติการเรืองแสงของชั้นนาโนพอร์สซิลิคอน ด้วยการฉายแสงจากหลอดแบบล็อกไลต์ แสดงดังรูปที่ 5.16 (ข) สังเกตได้ว่าสีในการเรืองแสงของชั้นนาโนพอร์สซิลิคอนจะมีการเปลี่ยนแปลงจากสีส้มเข้มไปเป็นสีส้มอ่อน เนื่องจาก การใช้ความหนาแน่นกระแสไฟฟ้าในการกัดเพิ่มมากขึ้น โครงสร้างของชั้นนาโนพอร์สซิลิคอนจึงถูกกัดเพิ่มมากขึ้น ส่งผลทำให้ความพุดุนของชั้นนาโนพอร์สซิลิคอนมีเพิ่มมากขึ้น จึงทำให้สีพื้นผิวเปลี่ยนแปลงจากสีน้ำตาลเข้มไปเป็นสีน้ำตาลอ่อน และการเรืองแสงของชั้นนาโนพอร์สซิลิคอนจึงมีการเปลี่ยนแปลงจากสีส้มเข้มไปเป็นสีส้มอ่อน

5.3.1 ผลการทดลองศึกษาโครงสร้างของชั้นนาโนพอร์สซิลิคอนด้วยเครื่อง SEM

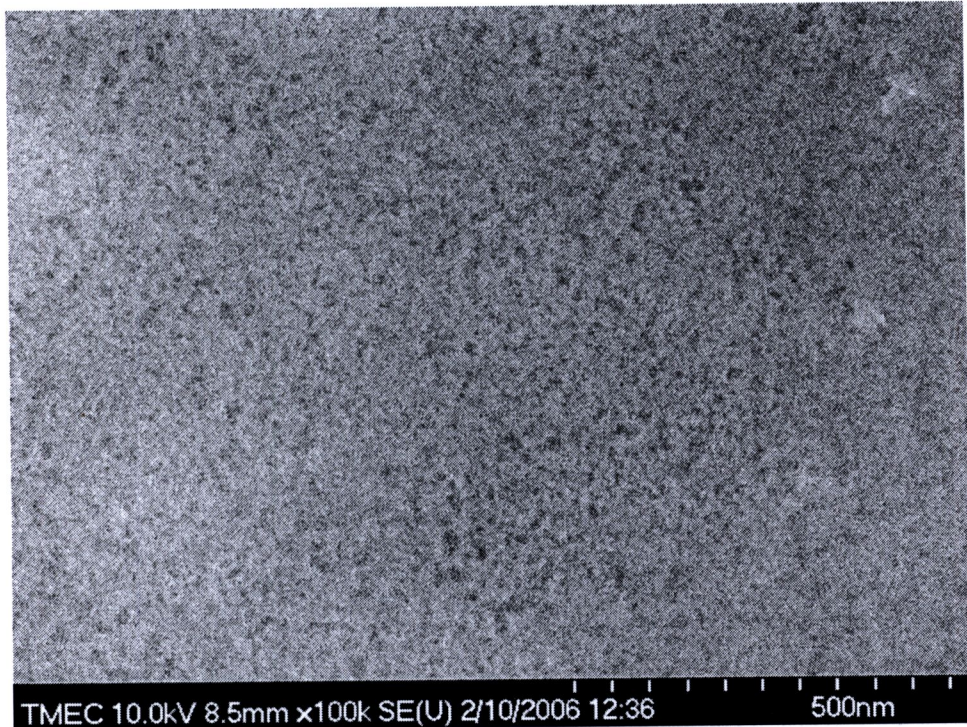
ทำการศึกษารักษาโครงสร้างของชั้นนาโนพอร์สซิลิคอนที่สร้างโดยใช้อัตราส่วนสารละลายนครคิโซโรฟลูออริกต่อเอทานอลเป็น 4:1 โดยปริมาตร เวลา 10 นาที ความหนาแน่นกระแสไฟฟ้า 5 mA/cm^2 , 10 mA/cm^2 , 15 mA/cm^2 และ 20 mA/cm^2 ตามลำดับ ซึ่งได้นำไปวิเคราะห์รักษาโครงสร้างด้วยเครื่อง SEM แสดงดังรูปที่ 5.17-5.23



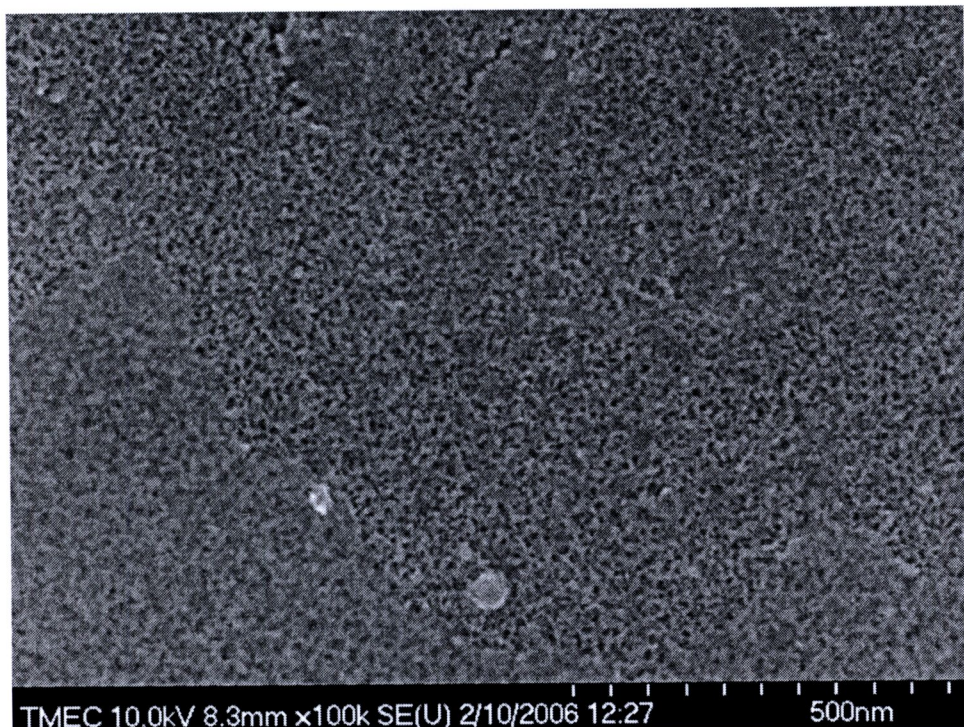
รูปที่ 5.17 ภาพพื้นผิวของชั้นนาโนพอร์สซิลิคอน โดยใช้ความหนาแน่นกระแสไฟฟ้า 5 mA/cm^2



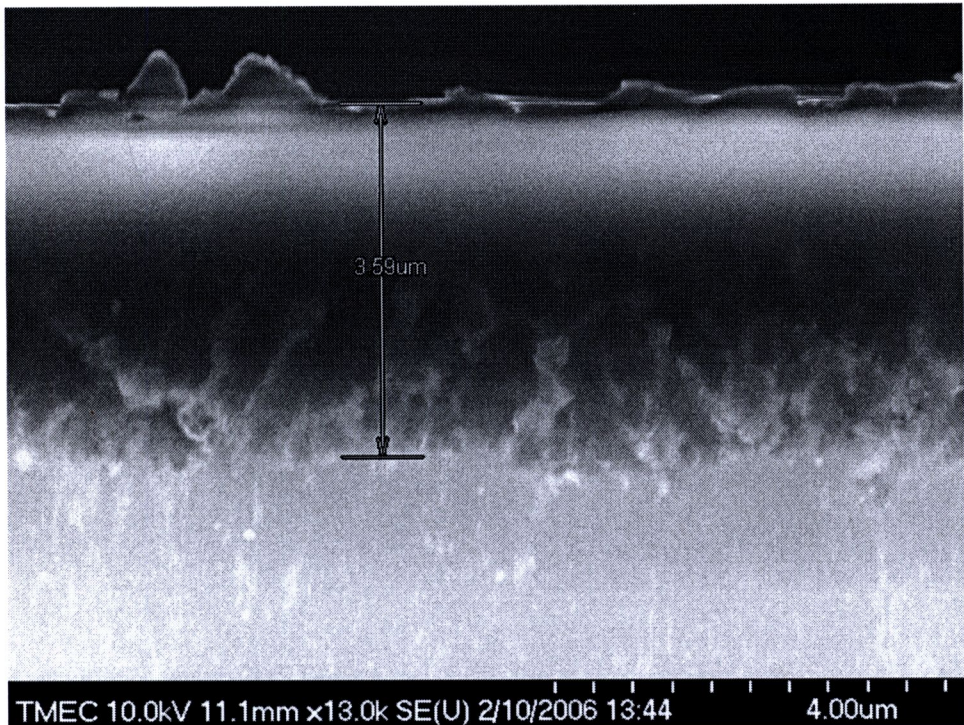
รูปที่ 5.18 ภาพพื้นผิวของชั้นนาโนพอร์สซิลิคอน โดยใช้ความหนาแน่นกระแสไฟฟ้า 10 mA/cm^2



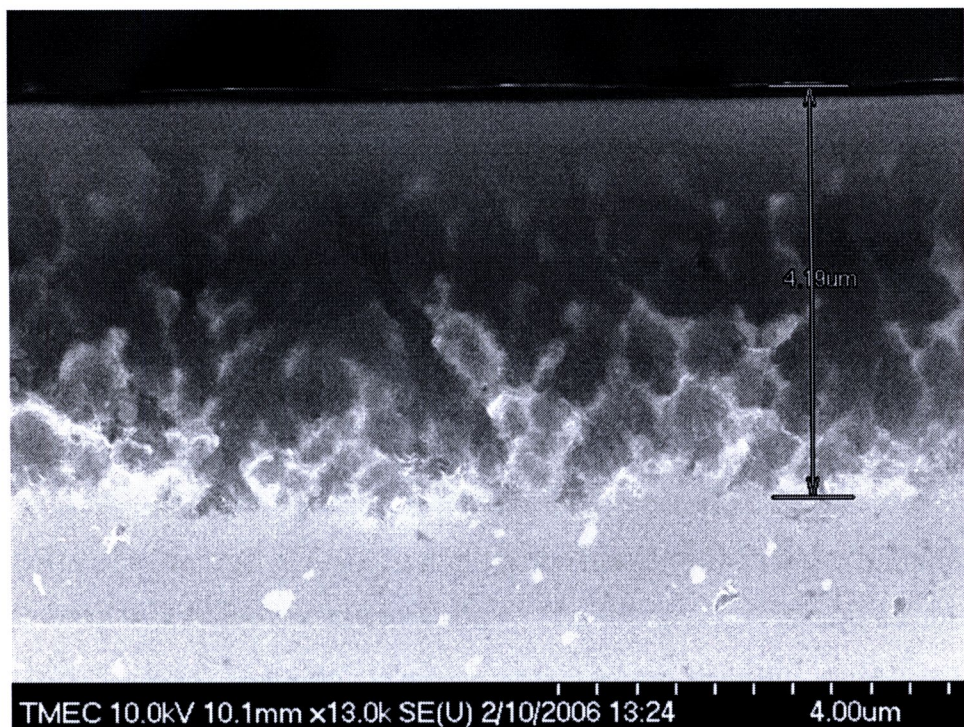
รูปที่ 5.19 ภาพพื้นผิวของชั้นนาโนพอร์สซิลิคอน โดยใช้ความหนาแน่นกระแสไฟฟ้า 15 mA/cm^2



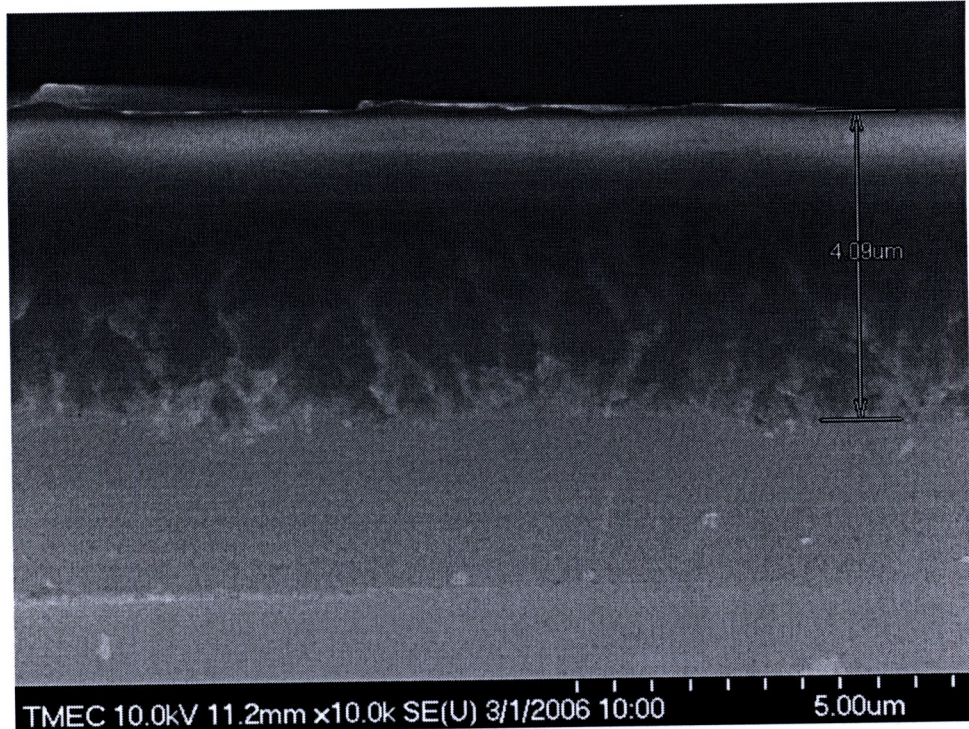
รูปที่ 5.20 ภาพพื้นผิวของชั้นนาโนพอร์สซิลิคอน โดยใช้ความหนาแน่นกระแสไฟฟ้า 20 mA/cm^2



รูปที่ 5.21 ภาพตัดขวางของชั้นนาโนพอร์สซิลิคอน โดยใช้ความหนาแน่นกระแสไฟฟ้า 5 mA/cm^2



รูปที่ 5.22 ภาพตัดขวางของชั้นนาโนพอร์สซิลิคอน โดยใช้ความหนาแน่นกระแสไฟฟ้า 10 mA/cm^2



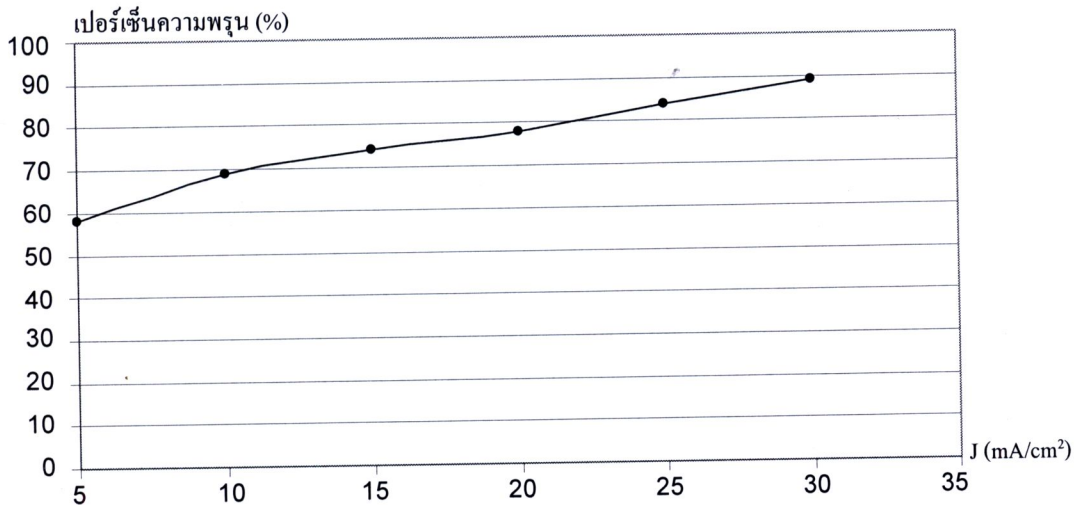
รูปที่ 5.23 ภาพตัดขวางของชั้นนาโนพอร์สซิลิคอน โดยใช้ความหนาแน่นกระแสไฟฟ้า 20 mA/cm^2

จากรูปที่ 5.17-5.20 เมื่อทำการเพิ่มความหนาแน่นกระแสไฟฟ้าในการสร้างชั้นนาโนพอร์สซิลิคอนด้วยวิธีการแอโนไดเซชันจะมีผลทำให้พื้นผิวของชั้นนาโนพอร์สซิลิคอนถูกกัดและทำให้รูพรุนของชั้นนาโนพอร์สซิลิคอนมีขนาดใหญ่ขึ้น และจากรูปที่ 5.21-5.23 เมื่อทำการเพิ่มความหนาแน่นกระแสไฟฟ้าในการสร้างชั้นนาโนพอร์สซิลิคอนด้วยวิธีการแอโนไดเซชันจะมีผลทำให้ความหนาของชั้นนาโนพอร์สซิลิคอนยังคงมีค่าใกล้เคียงกัน เนื่องจากเมื่อใช้ความหนาแน่นกระแสไฟฟ้าในการแอโนไดเซชันมากขึ้น ทำให้พานะไฮดราซิลิคอนขณะทำการกัดมีจำนวนเพิ่มมากขึ้น ส่งผลทำให้รูพรุนของนาโนพอร์สซิลิคอนมีขนาดใหญ่ขึ้น แต่ความหนาของชั้นนาโนพอร์สซิลิคอนยังคงมีค่าใกล้เคียงกันเนื่องจากเวลาที่ใช้ในการแอโนไดเซชันใช้เวลาเท่ากัน

5.3.2 การศึกษาความพรุน และความลึกของชั้นนาโนพอร์สซิลิคอน

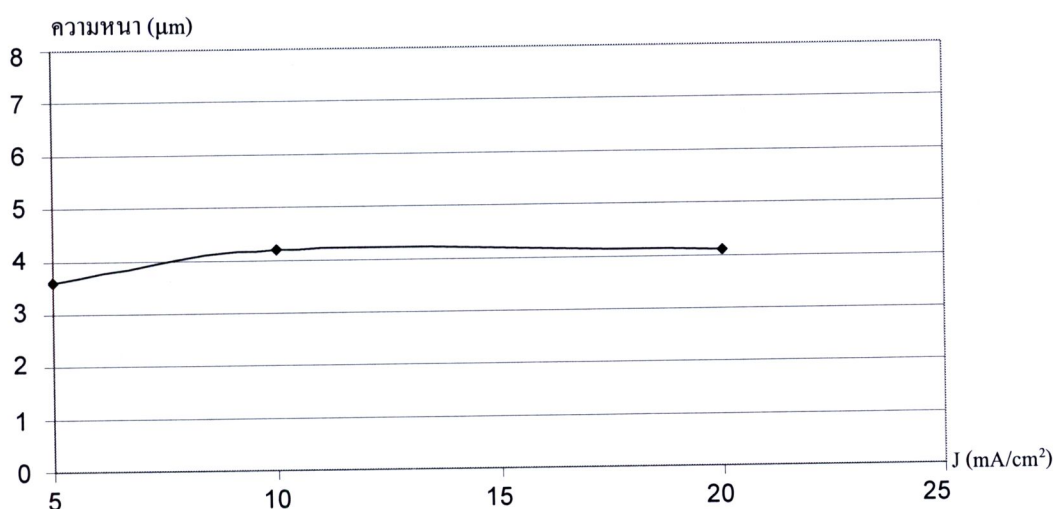
ทำการศึกษาความพรุน และความลึกของชั้นนาโนพอร์สซิลิคอนที่สร้างโดยใช้อัตราส่วนสารละลายน้ำต่อสารกรดไฮโดรฟลูออเริกต่อเอทานอลเป็น 4:1 โดยปริมาตร เวลา 10 นาที ความหนาแน่นกระแสไฟฟ้า 5 mA/cm^2 , 10 mA/cm^2 , 15 mA/cm^2 และ 20 mA/cm^2 ตามลำดับ โดยอ้างอิงความพรุน [49] และความหนา จากรูปที่ 5.17 ถึง 5.23 และคำนวณหาค่าความพรุนจากการเบอร์เช็นต์ความ

พรุนโดยใช้หลักการเปลี่ยนแปลงน้ำหนักของวัสดุก่อนและหลังการเกิดรูพรุน (ดังที่ได้กล่าวมาแล้วในหัวข้อ 4.2.1) แสดงดังรูปที่ 5.24-5.25



รูปที่ 5.24 ความสัมพันธ์ระหว่างเปอร์เซ็นต์ความพรุนของชั้นนาโนพอร์สซิลิคอนกับความหนาแน่น

กระแสไฟฟ้าในการแอลลอยด์เชชัน



รูปที่ 5.25 ความสัมพันธ์ระหว่างความหนาของชั้นนาโนพอร์สซิลิคอนกับความหนาแน่น

กระแสไฟฟ้า

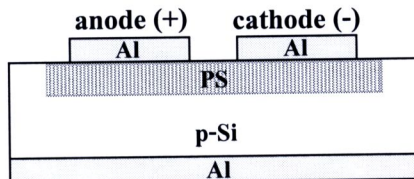
ในการแอลลอยด์เชชัน

จากรูปที่ 5.24-5.25 เมื่อทำการเพิ่มความหนาแน่นกระแสไฟฟ้าในการสร้างชั้นนาโนพอร์สซิลิคอนด้วยวิธีการแอลลอยด์เชชันจะมีผลทำให้ชั้นนาโนพอร์สซิลิคอนมีเปอร์เซ็นต์ความพรุน

เพิ่มขึ้น แต่ความหนาของชั้นนาโนพอร์ซิลิคอนมีค่าใกล้เคียงกัน ซึ่งแสดงว่าความหนาแน่นกระແສไฟฟ้าในการแอนไดเซนเซอร์มีผลทำให้เกิดการเปลี่ยนแปลงเปอร์เซ็นต์ความพรุนชั้นนาโนพอร์ซิลิคอนแต่ไม่มีผลกับความหนาของชั้นนาโนพอร์ซิลิคอน

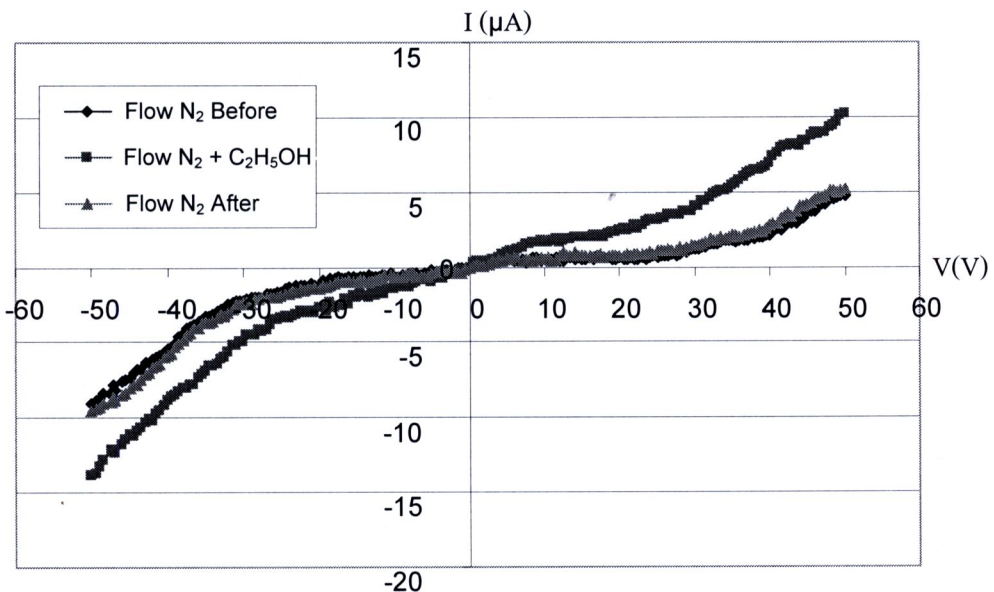
5.4 การทดลองเพื่อศึกษาผลของชั้นนาโนพอร์ซิลิคอนในอุปกรณ์ตรวจจับไอะเรเหยของสารเคมี

การทดลองนี้ศึกษาถึง การตอบสนองต่อการเปิด-ปิด ไอะเรเหยของสารเคมี (ด้วยชุดเครื่องมือที่ใช้ในการศึกษากลักษณะสมบัติกระແສไฟฟ้าที่ได้จากการตรวจจับ ไอะเรเหยของสารเคมีที่ได้นำเสนอในหัวข้อ 4.2.3) ของอุปกรณ์ที่มีชั้นนาโนพอร์ซิลิคอนเปรียบเทียบกับอุปกรณ์ที่ไม่มีชั้นนาโนพอร์ซิลิคอน โดยสร้างอุปกรณ์ตรวจจับ ไอะเรเหยของสารเคมีโดยใช้ชั้นนาโนพอร์ซิลิคอนที่อัตราส่วนสารละลายกรดไฮโดรฟลูออริกต่อเอทานอลเป็น 4:1 โดยปรินาตร เวลา 10 นาที ความหนาแน่นกระແສไฟฟ้า 10 mA/cm^2 และทำการต่อขั้วเพื่อใช้ในการวัดลักษณะสมบัติกระແສไฟฟ้า แสดงดังรูปที่ 5.26

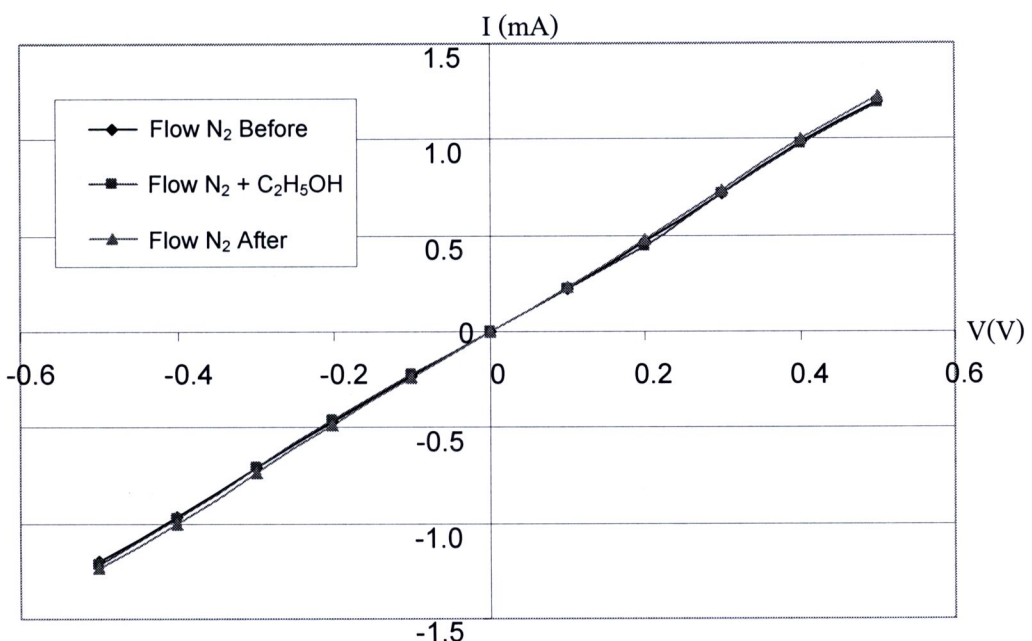


รูปที่ 5.26 ภาพการต่อขั้วที่ใช้ในการวัดของอุปกรณ์ตรวจจับ ไอะเรเหยของสารเคมี

ทำการวัดลักษณะสมบัติกระແສ-แรงดัน ในการเปิดก๊าซในไตรเจนเวลา 30 วินาที แล้วเปิดก๊าซในไตรเจนผสมกับไออกานอล 30 วินาที และเปิดก๊าซในไตรเจน 30 วินาที ของอุปกรณ์ที่มีชั้นนาโนพอร์ซิลิคอน ที่อุณหภูมิห้อง อัตราการไอล 1 l/min โดยใช้เอทานอลบริสุทธิ์ แสดงดังรูปที่ 5.27 เปรียบเทียบกับอุปกรณ์ที่ไม่มีชั้นนาโนพอร์ซิลิคอน แสดงดังรูปที่ 5.28



รูปที่ 5.27 ลักษณะสมบัติกระแส-แรงดันของอุปกรณ์ที่มีชั้นนาโนพอร์สซิลิคอน



รูปที่ 5.28 ลักษณะสมบัติกระแส-แรงดันของอุปกรณ์ที่ไม่มีชั้นนาโนพอร์สซิลิคอน

จากรูปที่ 5.27 พบว่าลักษณะสมบัติกระแส-แรงดันของอุปกรณ์ที่มีชั้นนาโนพอร์สซิลิคอน จะมีการเปลี่ยนแปลงเมื่อเปิดให้มีการไหลของไออะเรียของสารเคมี แต่จากรูปที่ 5.28 พบว่า ลักษณะสมบัติกระแส-แรงดันของอุปกรณ์ที่ไม่มีชั้นนาโนพอร์สซิลิคอนจะไม่มีการเปลี่ยนแปลง เมื่อเปิดให้มีการไหลของไออะเรียของสารเคมี จากผลการทดลองนี้จึงได้ทำการศึกษาถึงลักษณะ

สมบัติกระแสไฟฟ้าของชั้นนาโนพอร์สซิลิคอนต่อการตรวจจับไอระเหยของสารเคมี โดยพิจารณาช่วงในการตรวจจับต่างๆ แสดงดังรูปที่ 5.29 ซึ่งสามารถอธิบายช่วงในการตรวจจับต่างๆ ได้ดังนี้

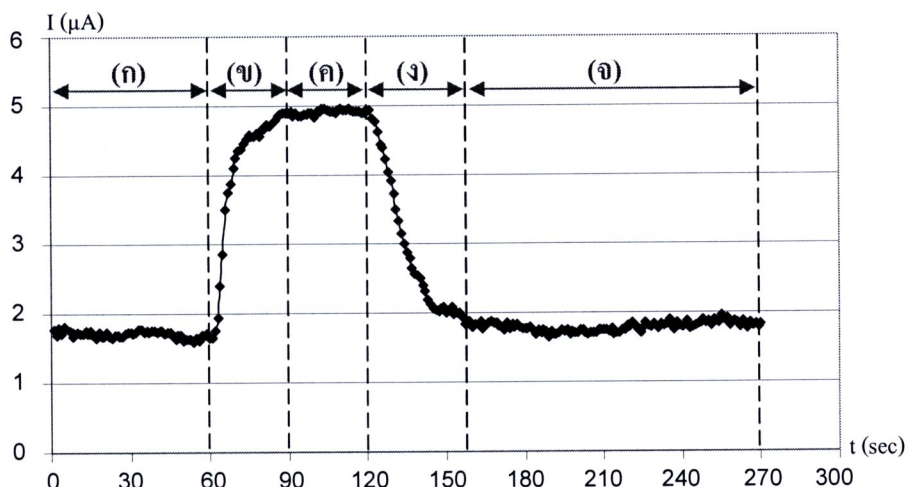
- กระแสไฟฟ้าช่วงก่อนเปิด ไอระเหยของสารเคมี เป็นช่วงที่แสดงลักษณะสมบัติกระแสไฟฟ้าระหว่างที่เปิดก๊าซในโตรเจนเข้ามาในระบบ

- กระแสไฟฟ้าช่วงเปิด ไอระเหยของสารเคมี เป็นช่วงที่แสดงลักษณะสมบัติกระแสไฟฟ้าระหว่างที่เปิดก๊าซในโตรเจนผสมกับ ไอระเหยของสารเคมี แล้วเกิดการเพิ่มขึ้นของปริมาณกระแสไฟฟ้าที่วัดได้

- กระแสไฟฟ้าช่วงเกิดการอิมตัว เป็นช่วงที่แสดงลักษณะสมบัติกระแสไฟฟ้าระหว่างที่เปิดก๊าซในโตรเจนผสมกับ ไอระเหยของสารเคมี แล้วเกิดการคงที่ของปริมาณกระแสไฟฟ้าที่วัดได้

- กระแสไฟฟ้าช่วงการปิด ไอระเหยของสารเคมี เป็นช่วงที่แสดงลักษณะสมบัติกระแสไฟฟ้าระหว่างที่ทำการปิดก๊าซในโตรเจนผสมกับ ไอระเหยของสารเคมีพร้อมกับเปิดก๊าซในโตรเจนเพื่อไล่ไอระเหยของสารเคมีออกจากระบบ แล้วเกิดการตกลงของกระแสไฟฟ้าที่วัดได้

- กระแสไฟฟ้าช่วงกลับมาจุดเริ่มต้นเดิม เป็นช่วงที่แสดงลักษณะสมบัติกระแสไฟฟ้าระหว่างที่เปิดก๊าซในโตรเจน แล้วเกิดการตกลงกลับมาจุดเริ่มต้นเดิมเหมือนในตอนแรก



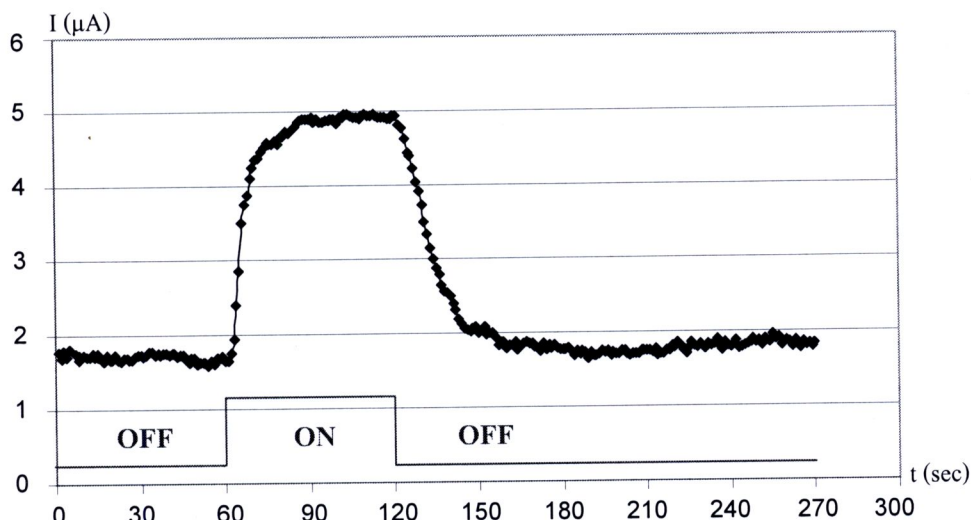
รูปที่ 5.29 ลักษณะสมบัติกระแสไฟฟ้าในการตรวจจับ ไอระเหยของสารเคมีของชั้นนาโนพอร์สซิลิคอน

(ก) กระแสไฟฟ้าช่วงก่อนเปิด ไอระเหยของสารเคมี (ข) กระแสไฟฟ้าช่วงเปิด ไอระเหยของสารเคมี

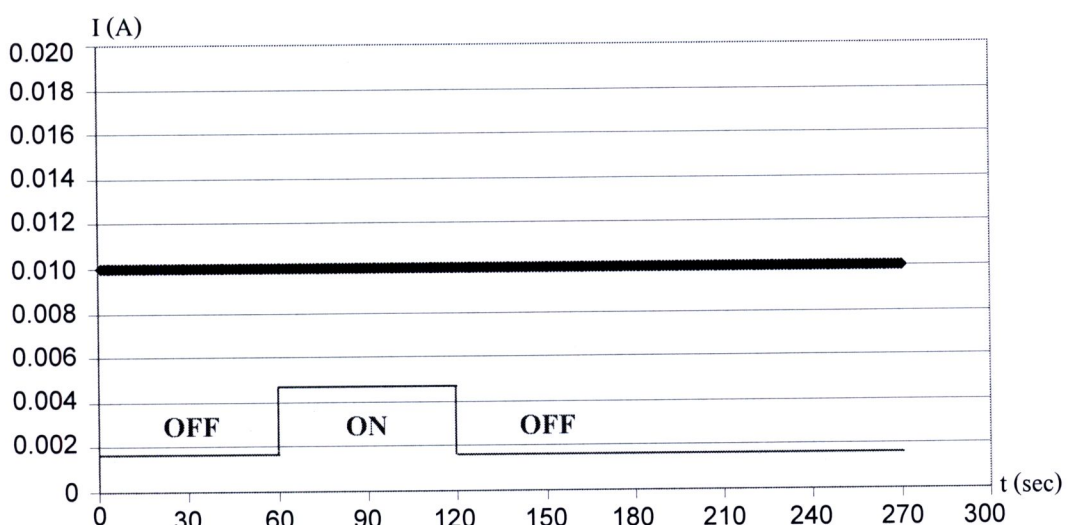
(ค) กระแสไฟฟ้าช่วงเกิดการอิมตัว (จ) กระแสไฟฟ้าช่วงการปิด ไอระเหยของสารเคมี

(ก) กระแสไฟฟ้าช่วงกลับมาจุดเริ่มต้นเดิม

ทำการทดลองวัดลักษณะสมบัติกระแสไฟฟ้าต่อเวลาในการเปิดก๊าซในโตรเจน 60 วินาที แล้วเปิดก๊าซในโตรเจนผสมกับไออกทานอล 60 วินาที และเปิดก๊าซในโตรเจน 150 วินาที ของอุปกรณ์ที่มีชั้นนาโนพอร์สซิลิคอน ที่อุณหภูมิห้อง อัตราการไหล 1 l/min โดยใช้ออกทานอลบริสุทธิ์แรงดันไฟฟ้า 20 โวลต์ เปรียบเทียบกับอุปกรณ์ที่ไม่มีชั้นนาโนพอร์สซิลิคอน แสดงดังรูปที่ 5.30-5.31



รูปที่ 5.30 ลักษณะสมบัติกระแสไฟฟ้าในการตอบสนองต่อการเปิด-ปิดไอะระเหยของสารเคมีของอุปกรณ์ที่มีชั้นนาโนพอร์สซิลิคอน



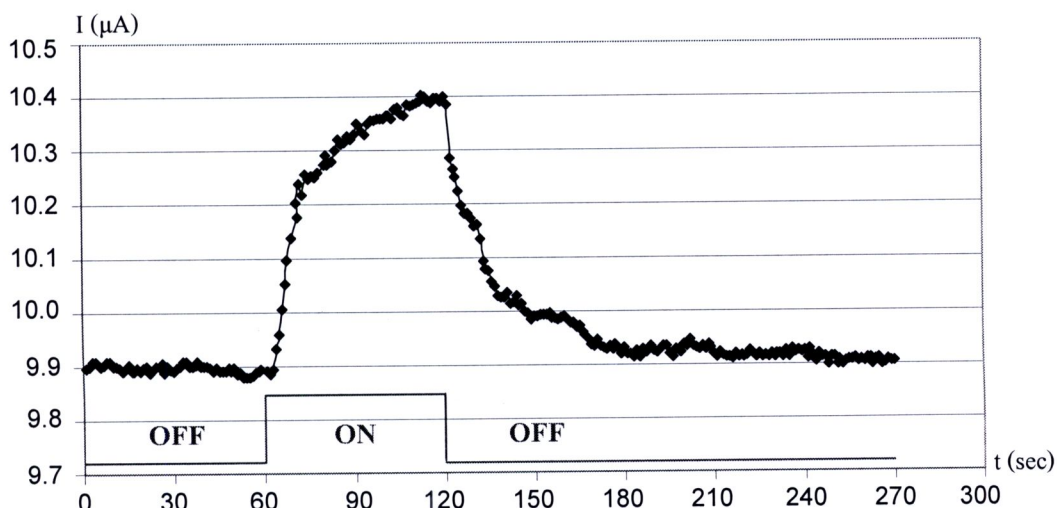
รูปที่ 5.31 ลักษณะสมบัติกระแสไฟฟ้าในการตอบสนองต่อการเปิด-ปิดไอะระเหยของสารเคมีของอุปกรณ์ที่ไม่มีชั้นนาโนพอร์สซิลิคอน

จากรูปที่ 5.30 พบว่าอุปกรณ์ที่มีชั้นนาโนพอร์สซิลิคอนมีการตอบสนองต่อการตรวจจับairo ระเหยของสารเคมี แต่จากรูปที่ 5.31 พบว่าอุปกรณ์ที่ไม่มีชั้นนาโนพอร์สซิลิคอนไม่มีการสนองต่อการตรวจจับairo ระเหยของสารเคมี ซึ่งแสดงว่าอุปกรณ์ที่มีชั้นนาโนพอร์สซิลิคอนสามารถนำไปใช้ในการตรวจจับairo ระเหยของสารเคมีได้ จึงได้ทำการศึกษาถึงผลกระบวนการสร้างชั้นนาโนพอร์สซิลิคอนที่มีต่ออุปกรณ์ตรวจจับairo ระเหยของสารเคมี ดังหัวข้อต่อไปนี้

5.4.1 การทดลองเพื่อศึกษาผลของการแยกไออกซ์เจนต่ออุปกรณ์ตรวจจับairo ระเหยของสารเคมี

การทดลองนี้ศึกษาถึง ผลของเวลาในการสร้างชั้นนาโนพอร์สซิลิคอนด้วยวิธีการแยกไออกซ์เจน โดยใช้อัตราส่วนสารละลายน้ำยากรดไฮโดรฟลูออเริกต่อเอทานอลเป็น 4:1 โดยปริมาตรความหนาแน่นกระแสไฟฟ้า 10 mA/cm^2 ใช้เวลา 5 นาที, 10 นาที, 15 นาที, 20 นาที และ 25 นาที ตามลำดับ แล้วทำการต่อขั้วเพื่อทำการวัดลักษณะสมบัติกระแสไฟฟ้าต่อเวลาในการเปิดก๊าซในโตรเจน 60 วินาที แล้วเปิดก๊าซในโตรเจนผสมกับไออกซ์เจนานอล 60 วินาที และเปิดก๊าซในโตรเจน 150 วินาที ที่อุณหภูมิห้อง อัตราการไหล 1 l/min โดยใช้อาหารอลบริสุทธิ์ แรงดันไฟฟ้า 20 โวลต์ ดังต่อไปนี้

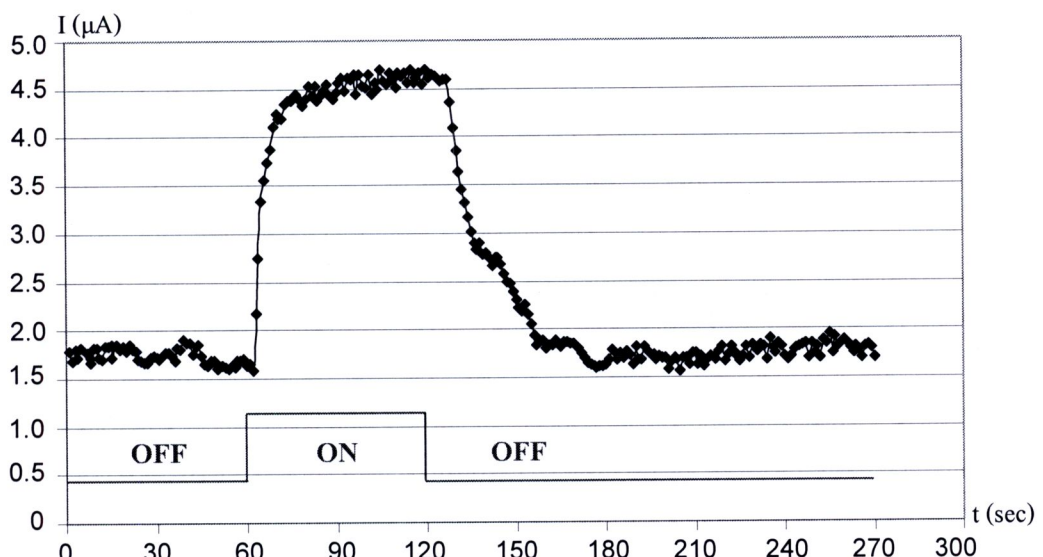
- อุปกรณ์ตรวจจับairo ระเหยของสารเคมี ที่สร้างชั้นนาโนพอร์สซิลิคอนโดยใช้อัตราส่วนสารละลายน้ำยากรดไฮโดรฟลูออเริกต่อเอทานอลเป็น 4:1 โดยปริมาตร ความหนาแน่นกระแสไฟฟ้า 10 mA/cm^2 เวลา 5 นาที (เปอร์เซ็นต์ความพรุนประมาณ 53% ความหนาประมาณ $2.12 \mu\text{m}$) นำมาวัดลักษณะสมบัติกระแสไฟฟ้าต่อเวลาการเปิด-ปิดไออกซ์เจนของสารเคมี แสดงดังรูปที่ 5.32



รูปที่ 5.32 ลักษณะสมบัติกระแสไฟฟ้าต่อเวลาการเปิด-ปิดไออกซ์เจนของสารเคมีของอุปกรณ์ตรวจจับairo ระเหยของสารเคมี ที่ใช้เวลาในการแยกไออกซ์เจน 5 นาที

จากรูปที่ 5.32 พบว่าที่เวลาในการแอโนไไดซ์เซ็น 5 นาที กระแสไฟฟ้าเริ่มต้นขณะทำการเปิดก๊าซในโตรเจนอยู่ที่ประมาณ $9.9 \mu\text{A}$ เมื่อทำการวัด ไอระเหยของสารเคมีขณะเปิดก๊าซ ในโตรเจนผสมกับ ไอระเหยของสารเคมีที่เวลาประมาณ 60 วินาที กระแสไฟฟ้าจะเพิ่มขึ้นเรื่อยๆ จนขึ้นไปอยู่ที่ประมาณ $10.4 \mu\text{A}$ ที่เวลาประมาณ 120 วินาที และทำการปิด ไอระเหยของสารเคมี พร้อมกับเปิดก๊าซในโตรเจนที่เวลาประมาณ 120 วินาที กระแสไฟฟ้าจะตกลงเรื่อยๆ จนตกลงมาที่ จุดเดิมตอนเริ่มต้นประมาณ $9.9 \mu\text{A}$ ที่เวลาประมาณ 210 วินาที ซึ่งเปรียบเทียบกับกระแสไฟฟ้าที่เปลี่ยนแปลงมีค่าประมาณ $0.5 \mu\text{A}$ เมื่อมีการตรวจจับ ไอระเหยของสารเคมีกระแสไฟฟ้าจะเพิ่มขึ้นเรื่อยๆ จะใช้เวลาในการอัมตัวนานกว่า 60 วินาที และเมื่อมีการปิด ไอระเหยของสารเคมี กระแสไฟฟ้าจะลดลงเรื่อยๆ ใช้เวลาในการกลับมาจุดเดิมประมาณ 90 วินาที

- อุปกรณ์ตรวจจับ ไอระเหยของสารเคมี ที่สร้างขึ้นนานาโนพอร์สซิลิคอนโดยใช้อัตราส่วนสารละลายน้ำยาต่อสารเคมีที่ต้องการตรวจจับเป็น 4:1 โดยปริมาตร ความหนาแน่นกระแสไฟฟ้า 10 mA/cm^2 เวลา 10 นาที (เปอร์เซ็นต์ความพ Rubin ประมาณ 69% ความหนาประมาณ $4.19 \mu\text{m}$) นำมาวัดลักษณะสมบัติกระแสไฟฟ้าต่อเวลาการเปิด-ปิด ไอระเหยของสารเคมี แสดงดังรูปที่ 5.33

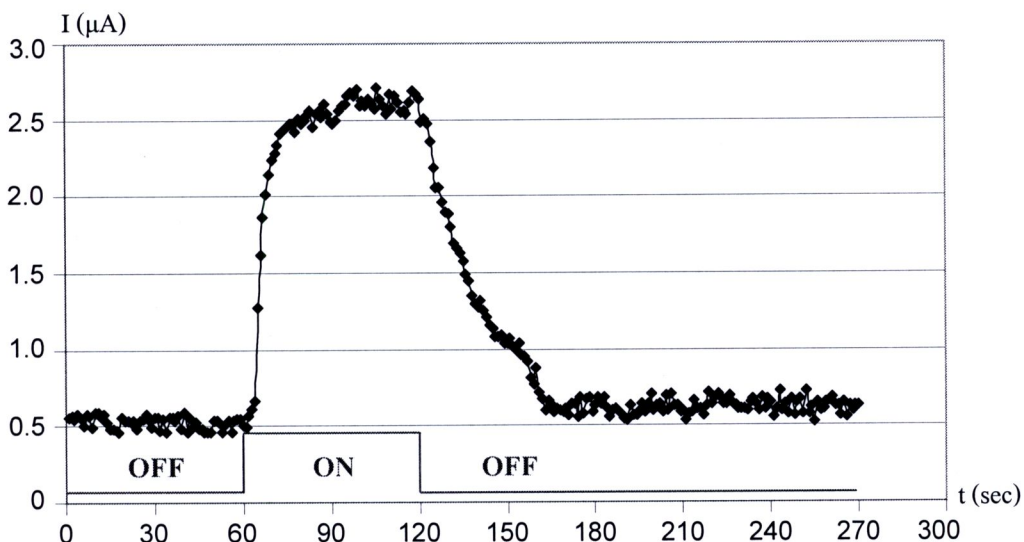


รูปที่ 5.33 ลักษณะสมบัติกระแสไฟฟ้าต่อเวลาการเปิด-ปิด ไอระเหยของสารเคมีของอุปกรณ์ ตรวจจับ ไอระเหยของสารเคมี ที่ใช้เวลาในการแอโนไไดซ์เซ็น 10 นาที

จากรูปที่ 5.33 พบว่าที่เวลาในการแอโนไไดซ์เซ็น 10 นาที กระแสไฟฟ้าเริ่มต้นขณะทำการเปิดก๊าซในโตรเจนอยู่ที่ประมาณ $1.7 \mu\text{A}$ เมื่อทำการวัด ไอระเหยของสารเคมีขณะเปิดก๊าซ ในโตรเจนผสมกับ ไอระเหยของสารเคมีที่เวลาประมาณ 60 วินาที กระแสไฟฟ้าจะเพิ่มขึ้นเรื่อยๆ

จนอิ่มตัวอยู่ที่ประมาณ $4.7 \mu\text{A}$ ที่เวลาประมาณ 90 วินาที และทำการปิดໄอระเหยของสารเคมีพร้อมกับเปิดก้าชในโตรเจนที่เวลาประมาณ 120 วินาที กระแสไฟฟ้าจะตกลงเรื่อยๆ จนตกลงมาที่จุดเดิมตอนเริ่มต้นประมาณ $1.7 \mu\text{A}$ ที่เวลาประมาณ 160 วินาที ซึ่งสังเกตได้ว่าปริมาณกระแสไฟฟ้าที่เปลี่ยนแปลงมีค่าประมาณ $3 \mu\text{A}$ เมื่อมีการตรวจจับໄอระเหยของสารเคมี กระแสไฟฟ้าจะเพิ่มขึ้นเรื่อยๆ จะใช้เวลาในการอิ่มตัวประมาณ 30 วินาที และเมื่อมีการปิดໄอระเหยของสารเคมี กระแสไฟฟ้าจะลดลงเรื่อยๆ ใช้เวลาในการกลับมาจุดเริ่มต้นเดิมประมาณ 40 วินาที

- อุปกรณ์ตรวจจับໄอระเหยของสารเคมี ที่สร้างชั้นนาโนพอร์ซิลิคอนโดยใช้อัตราส่วนสารละลายน้ำต่ำๆ ไห้โครงสร้างอิฐแบบร่องตื้นๆ ความกว้างของร่อง $4:1$ โดยปริมาตร ความหนาแน่นกระแสไฟฟ้า 10 mA/cm^2 เวลา 15 นาที (เปลอร์เซ็นต์ความพรุนประมาณ 78% ความหนาประมาณ $5.22 \mu\text{m}$) นำมาวัดลักษณะสมบัติกระแสไฟฟ้าต่อเวลาการเปิด-ปิดໄอระเหยของสารเคมี แสดงดังรูปที่ 5.34

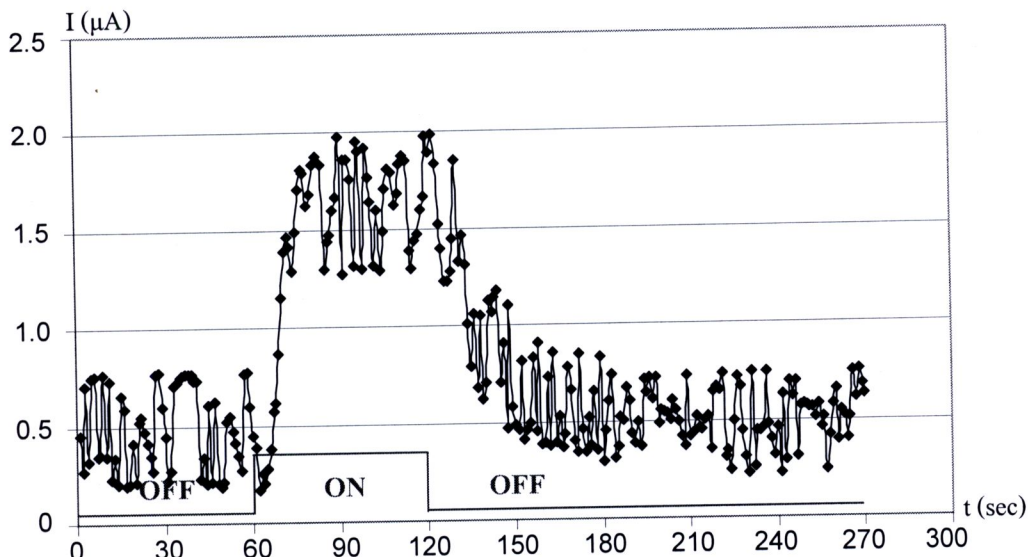


รูปที่ 5.34 ลักษณะสมบัติกระแสไฟฟ้าต่อเวลาการเปิด-ปิดໄอระเหยของสารเคมีของอุปกรณ์ตรวจจับໄอระเหยของสารเคมี ที่ใช้เวลาในการแอโนไไดซ์ชัน 15 นาที

จากรูปที่ 5.34 พบว่าที่เวลาในการแอโนไไดซ์ชัน 15 นาที กระแสไฟฟ้าเริ่มต้นขณะทำการเปิดก้าชในโตรเจนอยู่ที่ประมาณ $0.5 \mu\text{A}$ เมื่อทำการวัดໄอระเหยของสารเคมีขณะเปิดก้าชในโตรเจนผสมกับໄอระเหยของสารเคมีที่เวลาประมาณ 60 วินาที กระแสไฟฟ้าจะเพิ่มขึ้นเรื่อยๆ จนอิ่มตัวอยู่ที่ประมาณ $2.6 \mu\text{A}$ ที่เวลาประมาณ 90 วินาที และทำการปิดໄอระเหยของสารเคมีพร้อมกับเปิดก้าชในโตรเจนที่เวลาประมาณ 120 วินาที กระแสไฟฟ้าจะตกลงเรื่อยๆ จนตกลงมาที่จุดเดิมตอนเริ่มต้นประมาณ $0.5 \mu\text{A}$ ที่เวลาประมาณ 160 วินาที ซึ่งสังเกตได้ว่าปริมาณกระแสไฟฟ้าที่เปลี่ยนแปลงมีค่าประมาณ $2.1 \mu\text{A}$ เมื่อมีการตรวจจับໄอระเหยของสารเคมีกระแสไฟฟ้าจะเพิ่มขึ้น

เรื่อยๆ จะใช้เวลาในการอิ่มตัวประมาณ 30 วินาที และเมื่อมีการปิด ไฟจะหายของสารเคมี กระแสไฟจะลดลงเรื่อยๆ ใช้เวลาในการกลับมาจุดเริ่มต้นเดิมประมาณ 40 วินาที

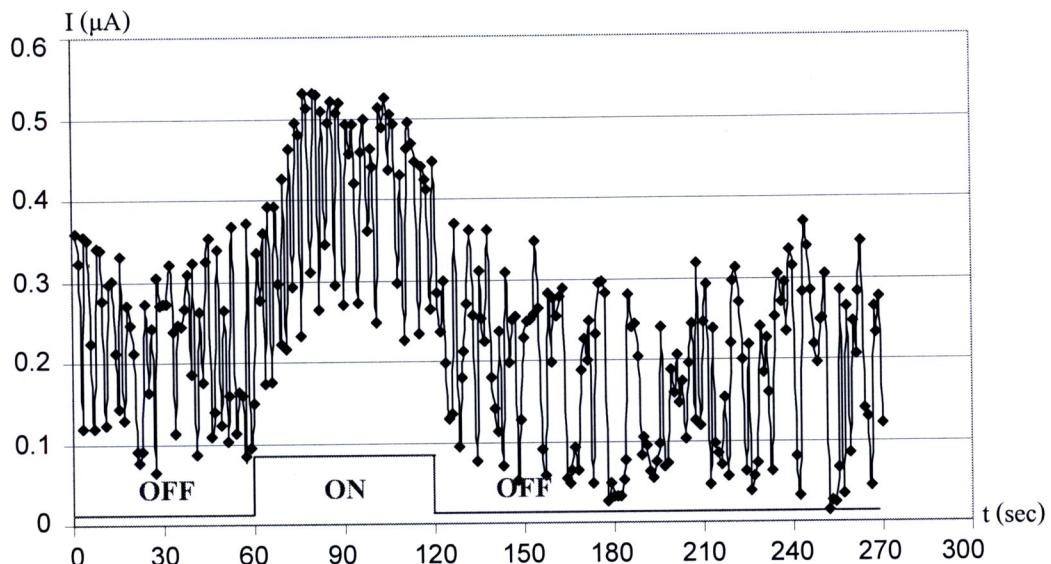
- อุปกรณ์ตรวจจับ ไฟจะมีการเปลี่ยนแปลงเมื่อมีการต่อจ่ายไฟฟ้า ที่สร้างชั้นนาโนพอร์สซิลิคอนโดยใช้อัตราส่วนสารละลายน้ำต่อสารเคมี 4:1 โดยปริมาตร ความหนาแน่นกระแสไฟฟ้า 10 mA/cm^2 เวลา 20 นาที (เปอร์เซ็นต์ความพรุนประมาณ 81% ความหนาประมาณ $6.74 \mu\text{m}$) นำมาวัดลักษณะสมบัติกระแสไฟฟ้าต่อเวลาการเปิด-ปิด ไฟจะหายของสารเคมี แสดงดังรูปที่ 5.35



รูปที่ 5.35 ลักษณะสมบัติกระแสไฟฟ้าต่อเวลาการเปิด-ปิด ไฟจะหายของสารเคมีของอุปกรณ์ ตรวจจับ ไฟจะหายของสารเคมี ที่ใช้เวลาในการแอโนไดซ์ เชั้น 20 นาที

จากรูปที่ 5.35 พบร่วมกันว่า ที่เวลาในการแอโนไดซ์ เชั้น 20 นาที กระแสไฟฟ้าจะมีการเปลี่ยนแปลงเมื่อมีการตรวจจับ ไฟจะหายของสารเคมี แต่ปริมาณกระแสไฟฟ้าที่วัดได้มีค่าต่ำมาก และมีค่าไม่คงที่ ซึ่งเป็นผลมาจากการเปลี่ยนตัวความพรุนชั้นนาโนพอร์สซิลิคอนมีค่าประมาณ 81 % ความหนาประมาณ $6.74 \mu\text{m}$ ส่งผลทำให้ค่าความต้านทานของชั้นนาโนพอร์สซิลิคอนที่ใช้เวลาในการแอโนไดซ์ เชั้น 20 นาที มีค่าสูงมาก จึงไม่เหมาะสมที่จะนำมาใช้ในการตรวจจับ ไฟจะหายของสารเคมี

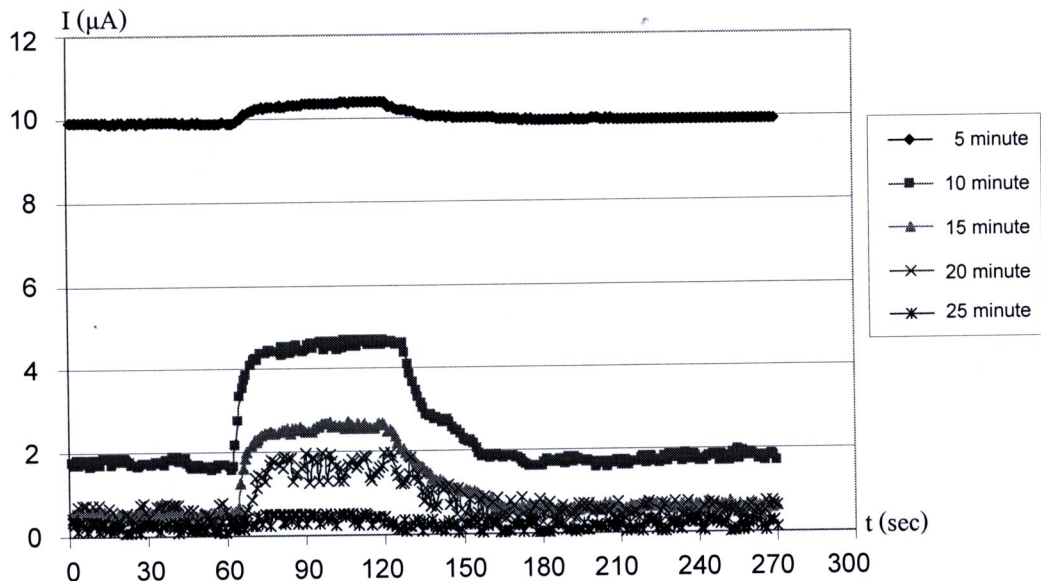
- อุปกรณ์ตรวจจับ ไฟจะหายของสารเคมี ที่สร้างชั้นนาโนพอร์สซิลิคอนโดยใช้อัตราส่วนสารละลายน้ำต่อสารเคมี 4:1 โดยปริมาตร ความหนาแน่นกระแสไฟฟ้า 10 mA/cm^2 เวลา 25 นาที (เปอร์เซ็นต์ความพรุนประมาณ 84%) นำมาวัดลักษณะสมบัติกระแสไฟฟ้าต่อเวลาการเปิด-ปิด ไฟจะหายของสารเคมี แสดงดังรูปที่ 5.36



รูปที่ 5.36 ลักษณะสมบัติกระแสไฟฟ้าต่อเวลาการเปิด-ปิด ไอระเหยของสารเคมีของอุปกรณ์ ตรวจจับไอระเหยของสารเคมี ที่ใช้เวลาในการแอโน่ไดซ์ เช่น 25 นาที

จากรูปที่ 5.36 พนว่าที่เวลาในการแอโน่ไดซ์ เช่น 25 นาที กระแสไฟฟ้าจะมีการเปลี่ยนแปลงเมื่อมีการตรวจจับไอระเหยของสารเคมี แต่ปริมาณกระแสไฟฟ้าที่วัดได้มีค่าต่ำมาก และมีค่าไม่คงที่ ซึ่งเป็นผลมาจากการเปลี่ยนตัวความพรุนชั้นนาโนพอร์สซิลิคอนมีค่าประมาณ 84 % ส่งผลทำให้ความต้านทานของชั้นนาโนพอร์สซิลิคอนที่ใช้เวลาในการแอโน่ไดซ์ เช่น 25 นาที มีค่าสูงมาก จึงไม่เหมาะสมที่จะนำมาใช้ในการตรวจจับไอระเหยของสารเคมี

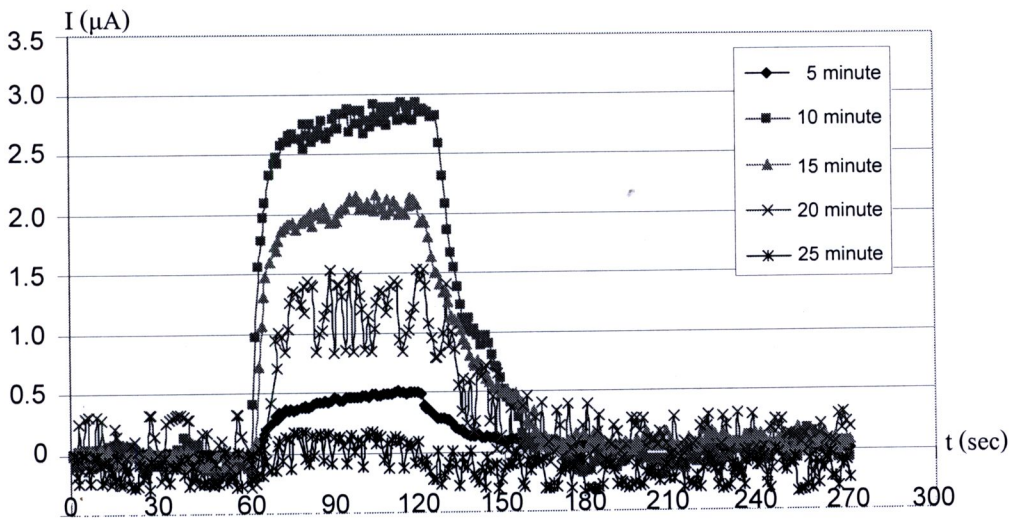
จากรูปที่ 5.32 – 5.36 จึงได้ทำการเปรียบเทียบลักษณะสมบัติกระแสไฟฟ้าต่อเวลาการเปิด-ปิด ไอระเหยของสารเคมีของอุปกรณ์ ตรวจจับไอระเหยของสารเคมีโดยใช้นาโนพอร์สซิลิคอนที่ใช้เวลาในการแอโน่ไดซ์ เช่น 5 นาที, 10 นาที, 15 นาที, 20 นาที และ 25 นาที ตามลำดับ ในกราฟเดียวกัน แสดงดังรูปที่ 5.37



รูปที่ 5.37 ลักษณะสมบัติกระแสไฟฟ้าในต่อเวลาการเปิด-ปิด ไอระเหยของสารเคมีของอุปกรณ์ตรวจจับไอระเหยของสารเคมี ที่ใช้เวลาในการแອโนไดซ์เซชันต่างๆ กัน

จากรูปที่ 5.37 พนวจว่า อุปกรณ์ที่ใช้เวลาในการแອโนไดซ์เซชัน 5 นาที จะมีกระแสไฟฟ้าเริ่มต้นมีค่าสูงที่สุด ตามด้วยที่เวลา 10 นาที, 15 นาที, 20 นาที และ 25 นาที ตามลำดับ เนื่องจากเมื่อใช้เวลาในการแອโนไดซ์เซชันมากขึ้นจะส่งผลให้ปรอร์เซ็นต์ความพรุนชั้นนาโนพอร์สซิลิคอนมีค่าเพิ่มขึ้น ความหนาของชั้นนาโนพอร์สซิลิคอนก็มีค่าเพิ่มขึ้นด้วย ทำให้ค่าความต้านทานของชั้นนาโนพอร์สซิลิคอนมีค่าเพิ่มขึ้น ปริมาณกระแสไฟฟ้าที่วัดได้จึงมีค่าลดลงตามลำดับ

ทำการเปรียบเทียบลักษณะสมบัติกระแสไฟฟ้าต่อเวลาการเปิด-ปิด ไอระเหยของสารเคมีของอุปกรณ์ของอุปกรณ์ตรวจจับไอระเหยของสารเคมีโดยใช้นาโนพอร์สซิลิคอนที่ใช้เวลาในการแອโนไดซ์เซชัน 5 นาที, 10 นาที, 15 นาที, 20 นาที และ 25 นาที ตามลำดับ ที่ระดับกระแสไฟฟ้าตอนเริ่มต้นเป็น 0 μA เพื่อทำการเปรียบเทียบปริมาณกระแสไฟฟ้าที่เพิ่มขึ้นของแต่ละอุปกรณ์ที่ใช้เวลาในการแອโนไดซ์เซชันต่างๆ กัน แสดงดังรูปที่ 5.38



รูปที่ 5.38 ลักษณะสมบัติกระแสไฟฟ้าต่อเวลาการเปิด-ปิด ไอระเหยของสารเคมีของอุปกรณ์ ตรวจจับไอระเหยของสารเคมี ที่ใช้เวลาในการแอกโน ไดซ์เซชันต่างๆ กัน ที่ระดับอ้างอิงเดียวกัน

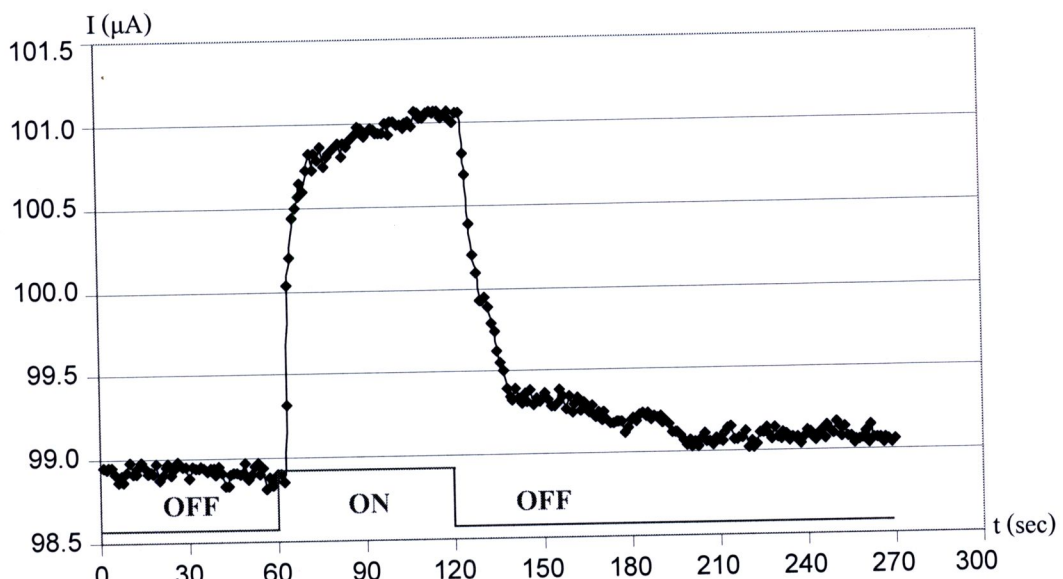
จากรูปที่ 5.38 พบร่วมกันว่า อุปกรณ์ที่ใช้เวลาในการแอกโน ไดซ์เซชัน 10 นาที มีค่าปริมาณกระแสไฟฟ้าที่เพิ่มขึ้นในการตรวจจับไอระเหยของสารเคมีประมาณ $3 \mu\text{A}$ ซึ่งมีค่ามากที่สุดรองลงมาคือ เวลาในการแอกโน ไดซ์เซชัน 15 นาที, 20 นาที, 5 นาที และ 25 นาทีตามลำดับ โดยจากข้อมูลข้างต้นอุปกรณ์ที่ใช้เวลาในการแอกโน ไดซ์เซชัน 10 นาที เมื่อมีการตรวจจับไอระเหยของสารเคมีกระแสไฟฟ้าจะเพิ่มขึ้นประมาณ $3 \mu\text{A}$ ใช้เวลาในการอั่มตัวประมาณ 30 วินาที และใช้เวลาในการกลับมาจุดเริ่มต้นเดิมประมาณ 40 วินาที ซึ่งใช้เวลาน้อยกว่าอุปกรณ์ที่ใช้เวลาในการแอกโน ไดซ์เซชันอื่นๆ เมื่อพิจารณาจากข้อมูลข้างต้นสามารถสรุปได้ว่า เวลาในการแอกโน ไดซ์เซชัน 10 นาที (เปอร์เซ็นต์ความพรุนประมาณ 69% ความหนาประมาณ $4.19 \mu\text{m}$) เป็นเวลาที่เหมาะสมในการแอกโน ไดซ์เซชัน

5.4.2 การทดลองเพื่อศึกษาผลของการแอกโน ไดซ์เซชันต่ออุปกรณ์ตรวจจับไอระเหยของสารเคมี

การทดลองนี้ศึกษาถึง ผลกระทบของการแอกโน ไดซ์เซชัน โดยใช้อัตราส่วนสารละลายกรดไฮโดรฟลูออเริกต่อเอทานอล เป็น 4:1 โดยปริมาตร เวลา 10 นาที ความหนาแน่นกระแสไฟฟ้า $5 \text{ mA/cm}^2, 10 \text{ mA/cm}^2, 15 \text{ mA/cm}^2, 20 \text{ mA/cm}^2, 25 \text{ mA/cm}^2$ และ 30 mA/cm^2 ตามลำดับ แล้วทำการต่อขั้วเพื่อทำการวัด ลักษณะสมบัติกระแสไฟฟ้าต่อเวลาในการเปิดก๊าซในโตรเจน 60 วินาที และเปิดก๊าซในโตรเจน

ผสมกับไออกทานอล 60 วินาที และเปิดก๊าซในโตรเจน 150 วินาที ที่อุณหภูมิห้อง อัตราการไฟ 1 l/min โดยใช้เอกสารอบริสุทธิ์ แรงดันไฟฟ้า 20 โวลต์ ดังต่อไปนี้

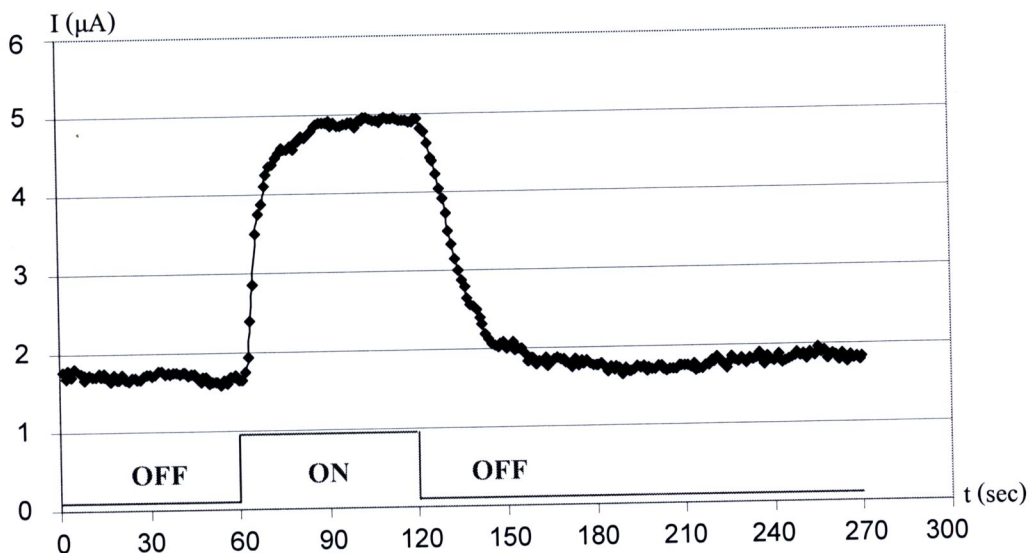
- อุปกรณ์ตรวจจับไอะเรียของสารเคมี ที่สร้างขึ้นนาโนพอร์สซิลิคอนโดยใช้อัตราส่วนสารละลายกรดไฮโดรฟลูออเริกต่อเอกสารอบเป็น 4:1 โดยปริมาตร เวลา 10 นาที ความหนาแน่นกระแสไฟฟ้า 5 mA/cm^2 (ความพรุนประมาณ 58% ความหนาประมาณ $3.59 \mu\text{m}$) นำมาวัดลักษณะสมบัติกระแสไฟฟ้าต่อเวลาการเปิด-ปิด ไอะเรียของสารเคมี แสดงดังรูปที่ 5.39



รูปที่ 5.39 ลักษณะสมบัติกระแสไฟฟ้าต่อเวลาการเปิด-ปิด ไอะเรียของสารเคมีของอุปกรณ์ตรวจจับไอะเรียของสารเคมีที่ใช้ความหนาแน่นกระแสไฟฟ้าในการแอโนไอดซ์เซชัน 5 mA/cm^2

จากรูปที่ 5.39 พบว่าที่ความหนาแน่นกระแสไฟฟ้าในการแอโนไอดซ์เซชัน 5 mA/cm^2 กระแสไฟฟ้าเริ่มต้นขณะทำการเปิดก๊าซในโตรเจนอยู่ที่ประมาณ $98.8 \mu\text{A}$ เมื่อทำการวัดไอะเรียของสารเคมีขณะเปิดก๊าซในโตรเจนผสมกับไอะเรียของสารเคมีที่เวลาประมาณ 60 วินาที กระแสไฟฟ้าจะเพิ่มขึ้นเรื่อยๆ จนขึ้นไปอยู่ที่ประมาณ $101.1 \mu\text{A}$ ที่เวลาประมาณ 120 วินาที และทำการปิดไอะเรียของสารเคมีพร้อมกับเปิดก๊าซในโตรเจนที่เวลาประมาณ 120 วินาที กระแสไฟฟ้าจะคงลงเรื่อยๆ จนคงลงมาที่จุดเดิมตอนเริ่มต้นประมาณ $98.8 \mu\text{A}$ ที่เวลาประมาณ 200 วินาที ซึ่งสังเกตได้ว่าประมาณกระแสไฟฟ้าที่เปลี่ยนแปลงมีค่าประมาณ $2.3 \mu\text{A}$ เมื่อมีการตรวจจับไอะเรียของสารเคมีกระแสไฟฟ้าจะเพิ่มขึ้นเรื่อยๆ จะใช้เวลาในการอิ่มตัวนานกว่า 60 วินาที และเมื่อมีการปิดไอะเรียของสารเคมีกระแสไฟฟ้าจะลดลงเรื่อยๆ ใช้เวลาในการกลับมาจุดเริ่มต้นเดิมประมาณ 80 วินาที

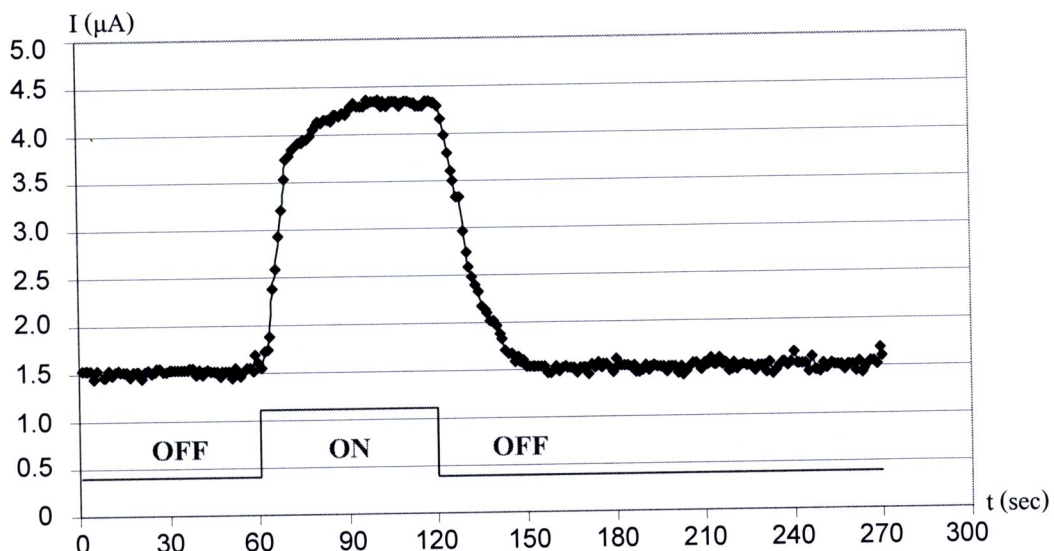
- อุปกรณ์ตรวจจับไอระเหยของสารเคมี ที่สร้างชั้นนาโนพอร์สซิลิคอนโดยใช้อัตราส่วนสารละลายนครคิไซโตรฟลูออริกต่อเอทานอลเป็น 4:1 โดยปริมาตร เวลา 10 นาที ความหนาแน่นกระแสไฟฟ้า 10 mA/cm^2 (ความพรุนประมาณ 69% ความหนาประมาณ $4.19 \mu\text{m}$) นำมาวัดลักษณะสมบัติกระแสไฟฟ้าต่อเวลาการเปิด-ปิด ไอระเหยของสารเคมี แสดงดังรูปที่ 5.40



รูปที่ 5.40 ลักษณะสมบัติกระแสไฟฟ้าต่อเวลาการเปิด-ปิด ไอระเหยของสารเคมีของอุปกรณ์ ตรวจจับ ไอระเหยของสารเคมีที่ใช้ความหนาแน่นกระแสไฟฟ้าในการแอโนไดซ์เซชัน 10 mA/cm^2

จากรูปที่ 5.40 พบร่วมกันว่า ที่ความหนาแน่นกระแสไฟฟ้าในการแอโนไดซ์เซชัน 10 mA/cm^2 กระแสไฟฟ้าเริ่มต้นขณะทำการเปิดก๊าซในโตรเจนอยู่ที่ประมาณ $1.8 \mu\text{A}$ เมื่อทำการวัด ไอระเหยของสารเคมีขณะเปิดก๊าซในโตรเจนสมกับ ไอระเหยของสารเคมีที่เวลาประมาณ 60 วินาที กระแสไฟฟ้าจะเพิ่มขึ้นเรื่อยๆ จนอิ่มตัวอยู่ที่ประมาณ $4.9 \mu\text{A}$ ที่เวลาประมาณ 90 วินาที และทำการปิด ไอระเหยของสารเคมีพร้อมกับเปิดก๊าซในโตรเจนที่เวลาประมาณ 120 วินาที กระแสไฟฟ้าจะตกลงเรื่อยๆ จนตกลงมาที่จุดเดิมตอนเริ่มต้นประมาณ $1.8 \mu\text{A}$ ที่เวลาประมาณ 160 วินาที ซึ่งสังเกตได้ว่าปริมาณกระแสไฟฟ้าที่เปลี่ยนแปลงมีค่าค่าประมาณ $3.1 \mu\text{A}$ เมื่อมีการตรวจจับ ไอระเหยของสารเคมีกระแสไฟฟ้าจะเพิ่มขึ้นเรื่อยๆ จะใช้เวลาในการอิ่มตัวประมาณ 30 วินาที และเมื่อมีการปิด ไอระเหยของสารเคมีกระแสไฟฟ้าจะลดลงเรื่อยๆ ใช้เวลาในการกลับมาจุดเดิมประมาณ 40 วินาที

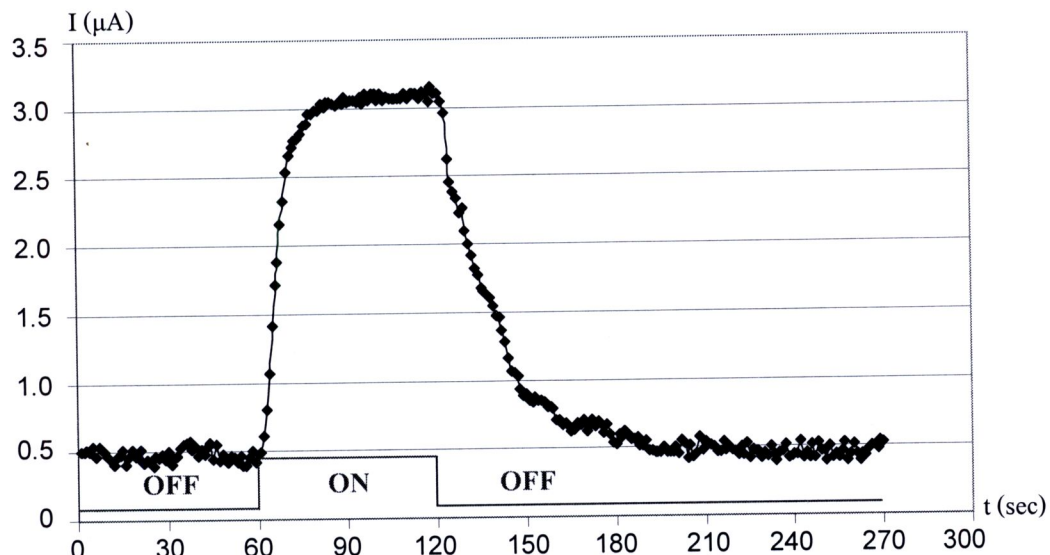
- อุปกรณ์ตรวจจับไอระเหยของสารเคมี ที่สร้างชั้นนาโนพอร์สซิลิคอนโดยใช้อัตราส่วนสารละลายนครดไฮโดรฟลูออริกต่อเอทานอลเป็น 4:1 โดยปริมาตร เวลา 10 นาที ความหนาแน่นกระแสไฟฟ้า 15 mA/cm^2 (ความพรุนประมาณ 74%) นำมาวัดลักษณะสมบัติกระแสไฟฟ้าต่อเวลาการเปิด-ปิดไอระเหยของสารเคมี แสดงดังรูปที่ 5.41



รูปที่ 5.41 ลักษณะสมบัติกระแสไฟฟ้าต่อเวลาการเปิด-ปิดไอระเหยของสารเคมีของอุปกรณ์ตรวจจับไอระเหยของสารเคมีที่ใช้ความหนาแน่นกระแสไฟฟ้าในการแอโนไดซ์เซชัน 15 mA/cm^2

จากรูปที่ 5.41 พบว่าที่ความหนาแน่นกระแสไฟฟ้าในการแอโนไดซ์เซชัน 15 mA/cm^2 กระแสไฟฟ้าเริ่มต้นขณะทำการเปิดก๊าซในโตรเจนอยู่ที่ประมาณ $1.5 \mu\text{A}$ เมื่อทำการวัดไอระเหยของสารเคมีขณะเปิดก๊าซในโตรเจนผสมกับไอระเหยของสารเคมีที่เวลาประมาณ 60 วินาที กระแสไฟฟ้าจะเพิ่มขึ้นเรื่อยๆ จนอิ่มตัวอยู่ที่ประมาณ $4.3 \mu\text{A}$ ที่เวลาประมาณ 90 วินาที และทำการปิดไอระเหยของสารเคมีพร้อมกับเปิดก๊าซในโตรเจนที่เวลาประมาณ 120 วินาที กระแสไฟฟ้าจะตกลงเรื่อยๆ จนตกลงมาที่จุดเดิมตอนเริ่มต้นประมาณ $1.5 \mu\text{A}$ ที่เวลาประมาณ 160 วินาที ซึ่งสังเกตได้ว่าปริมาณกระแสไฟฟ้าที่เปลี่ยนแปลงมีค่าประมาณ $2.8 \mu\text{A}$ เมื่อมีการตรวจจับไอระเหยของสารเคมีกระแสไฟฟ้าจะเพิ่มขึ้นเรื่อยๆ จะใช้เวลาในการอิ่มตัวประมาณ 30 วินาที และเมื่อมีการปิดไอระเหยของสารเคมีกระแสไฟฟ้าจะลดลงเรื่อยๆ ใช้เวลาในการกลับมาจุดเดิมประมาณ 40 วินาที

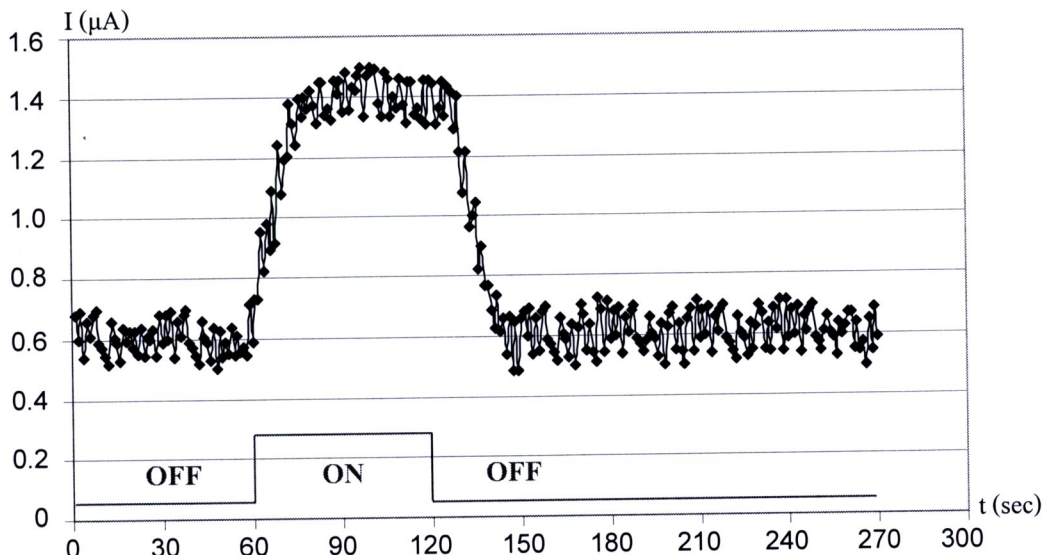
- อุปกรณ์ตรวจจับ ไอระเหยของสารเคมี ที่สร้างชั้นนาโนพอร์สซิลิคอน โดยใช้อัตราส่วนสารละลายกรดไฮโดรฟลูออริกต่อเอทานอลเป็น 4:1 โดยปริมาตร เวลา 10 นาที ความหนาแน่นกระแสไฟฟ้า 20 mA/cm^2 (ความพรุนประมาณ 78% ความหนาประมาณ $4.09 \mu\text{m}$) นำมาวัดลักษณะสมบัติกระแสไฟฟ้าต่อเวลาการเปิด-ปิด ไอระเหยของสารเคมี แสดงดังรูปที่ 5.42



รูปที่ 5.42 ลักษณะสมบัติกระแสไฟฟ้าต่อเวลาการเปิด-ปิด ไอระเหยของสารเคมีของอุปกรณ์ตรวจจับ ไอระเหยของสารเคมีที่ใช้ความหนาแน่นกระแสไฟฟ้าในการแօโนไดซ์เซชัน 20 mA/cm^2

จากรูปที่ 5.42 พบว่าที่ความหนาแน่นกระแสไฟฟ้าในการแօโนไดซ์เซชัน 20 mA/cm^2 กระแสไฟฟ้าเริ่มต้นขณะทำการเปิดก๊าซในโตรเจนอยู่ที่ประมาณ $0.5 \mu\text{A}$ เมื่อทำการวัด ไอระเหยของสารเคมีขณะเปิดก๊าซในโตรเจนผสมกับ ไอระเหยของสารเคมีที่เวลาประมาณ 60 วินาที กระแสไฟฟ้าจะเพิ่มขึ้นเรื่อยๆ จนอิ่มตัวอยู่ที่ประมาณ $3.1 \mu\text{A}$ ที่เวลาประมาณ 90 วินาที และทำการปิด ไอระเหยของสารเคมีพร้อมกับเปิดก๊าซในโตรเจนที่เวลาประมาณ 120 วินาที กระแสไฟฟ้าจะตกลงเรื่อยๆ จนคงลงมาที่จุดเดิมตอนเริ่มต้นประมาณ $0.5 \mu\text{A}$ ที่เวลาประมาณ 180 วินาที ซึ่งสังเกตได้ว่าปริมาณกระแสไฟฟ้าที่เปลี่ยนแปลงมีค่าประมาณ $2.6 \mu\text{A}$ เมื่อมีการตรวจจับ ไอระเหยของสารเคมีกระแสไฟฟ้าจะเพิ่มขึ้นเรื่อยๆ จะใช้เวลาในการอิ่มตัวประมาณ 30 วินาที และเมื่อมีการปิด ไอระเหยของสารเคมีกระแสไฟฟ้าจะลดลงเรื่อยๆ ใช้เวลาในการกลับมาจุดเดิมประมาณ 60 วินาที

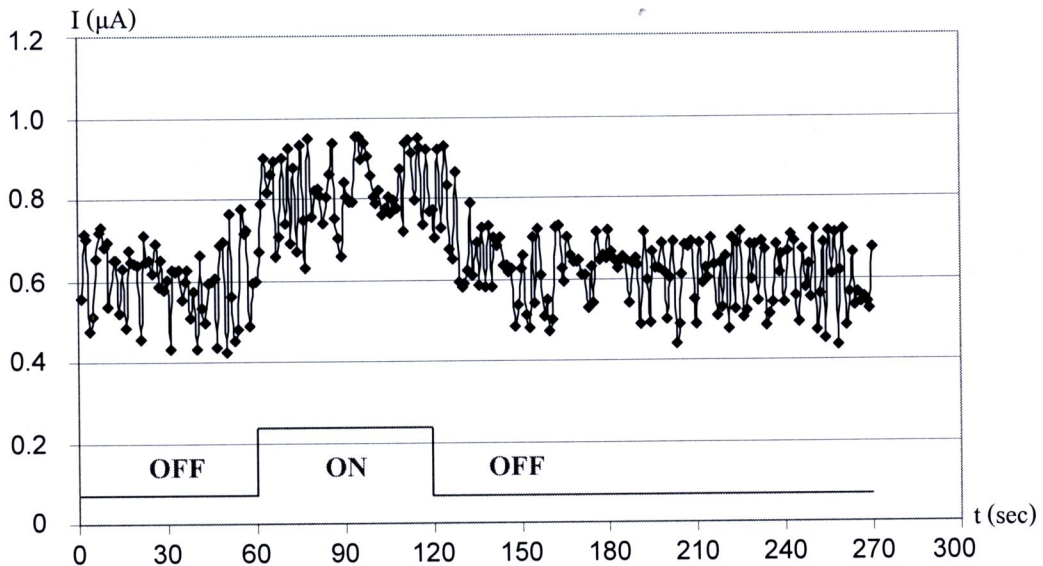
- อุปกรณ์ตรวจจับไอระเหยของสารเคมี ที่สร้างชั้นนาโนพอร์ซิลิคอนโดยใช้อัตราส่วนสารละลายกรดไฮโดรฟลูออริกต่อเอทานอลเป็น 4:1 โดยปริมาตร เวลา 10 นาที ความหนาแน่นกระแสไฟฟ้า 25 mA/cm^2 (ความพรุนประมาณ 84%) นำมาวัดลักษณะสมบัติกระแสไฟฟ้าต่อเวลาการเปิด-ปิดไอระเหยของสารเคมี แสดงดังรูปที่ 5.43



รูปที่ 5.43 ลักษณะสมบัติกระแสไฟฟ้าต่อเวลาการเปิด-ปิดไอระเหยของสารเคมีของอุปกรณ์ตรวจจับไอระเหยของสารเคมีที่ใช้ความหนาแน่นกระแสไฟฟ้าในการแอโนไอดซ์เซชัน 25 mA/cm^2

จากรูปที่ 5.43 พบว่าที่ความหนาแน่นกระแสไฟฟ้าในการแอโนไอดซ์เซชัน 25 mA/cm^2 กระแสไฟฟ้าจะมีการเปลี่ยนแปลงเมื่อมีการตรวจจับไอระเหยของสารเคมี แต่ปริมาณกระแสไฟฟ้าที่วัดได้มีค่าต่ำมากและมีค่าไม่คงที่ ซึ่งเป็นผลมาจากการเปลี่ยนตัวความพรุนชั้นนาโนพอร์ซิลิคอนมีค่าประมาณ 84 % ส่งผลทำให้ค่าความต้านทานของชั้นนาโนพอร์ซิลิคอนที่ใช้ความหนาแน่นกระแสไฟฟ้าในการแอโนไอดซ์เซชัน 25 mA/cm^2 มีค่าสูงมาก จึงไม่เหมาะสมที่จะนำมาใช้ในการตรวจจับไอระเหยของสารเคมี

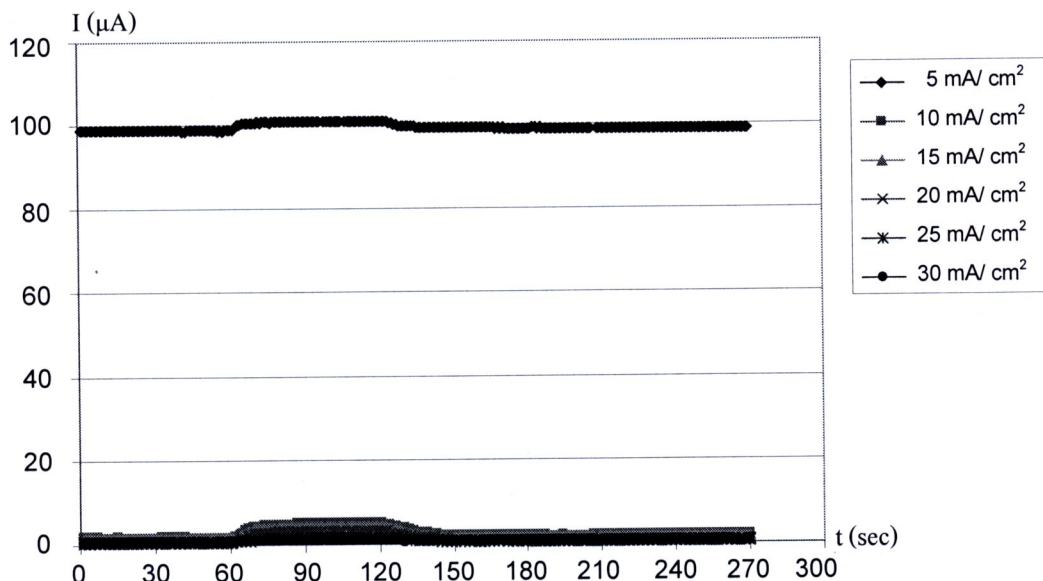
- อุปกรณ์ตรวจจับไอระเหยของสารเคมี ที่สร้างชั้นนาโนพอร์ซิลิคอนโดยใช้อัตราส่วนสารละลายกรดไฮโดรฟลูออริกต่อเอทานอลเป็น 4:1 โดยปริมาตร เวลา 10 นาที ความหนาแน่นกระแสไฟฟ้า 30 mA/cm^2 (ความพรุนประมาณ 89%) นำมาวัดลักษณะสมบัติกระแสไฟฟ้าต่อเวลาการเปิด-ปิดไอระเหยของสารเคมี แสดงดังรูปที่ 5.44



รูปที่ 5.44 ลักษณะสมบัติกระแสไฟฟ้าต่อเวลาการเปิด-ปิด ไอระเหยของสารเคมีของอุปกรณ์ ตรวจจับไอระเหยของสารเคมีที่ใช้ความหนาแน่นกระแสไฟฟ้าในการแอโนไดซ์เซชัน 30 mA/cm^2

จากรูปที่ 5.44 พนว่าที่ความหนาแน่นกระแสไฟฟ้าในการแอโนไดซ์เซชัน 30 mA/cm^2 กระแสไฟฟ้าจะมีการเปลี่ยนแปลงเมื่อมีการตรวจจับไอระเหยของสารเคมี แต่ปริมาณกระแสไฟฟ้าที่วัดได้มีค่าต่ำมากและมีค่าไม่คงที่ ซึ่งเป็นผลมาจากการเปลี่ยนตัวของพรมชั้นนาโนพอร์สซิลิคอนมีค่าประมาณ 89 % ส่งผลทำให้ค่าความด้านทานของชั้นนาโนพอร์สซิลิคอนที่ใช้ความหนาแน่นกระแสไฟฟ้าในการแอโนไดซ์เซชัน 25 mA/cm^2 มีค่าสูงมาก จึงไม่เหมาะสมที่จะนำมาใช้ในการตรวจจับไอระเหยของสารเคมี

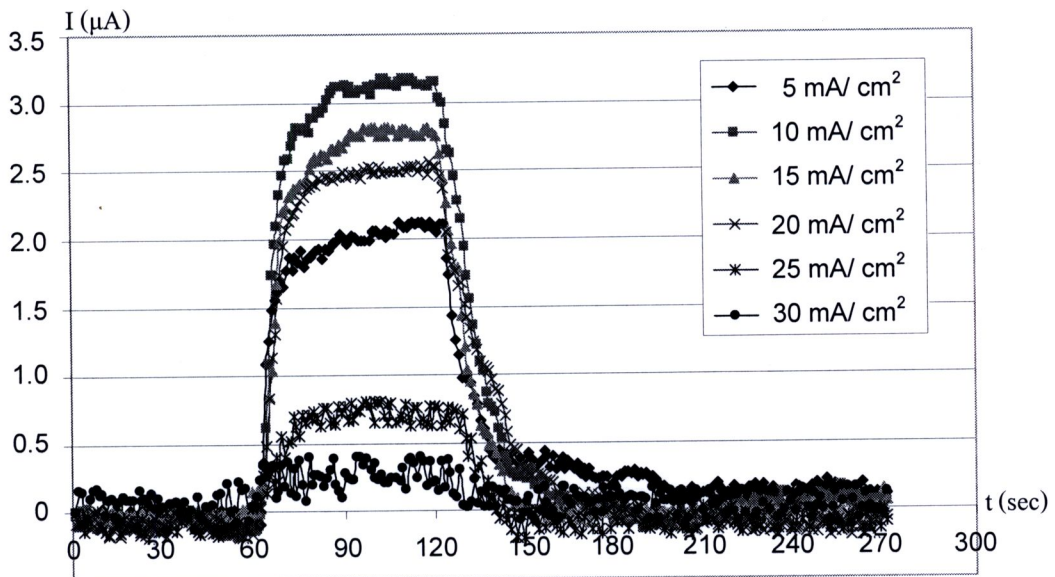
จากรูปที่ 5.39 – 5.44 จึงได้ทำการเปรียบเทียบลักษณะสมบัติกระแสไฟฟ้าต่อเวลาการเปิด-ปิด ไอระเหยของสารเคมีของอุปกรณ์ ตรวจจับไอระเหยของสารเคมีโดยใช้นาโนพอร์สซิลิคอนที่ใช้ความหนาแน่นกระแสไฟฟ้าในการแอโนไดซ์เซชัน 5 mA/cm^2 , 10 mA/cm^2 , 15 mA/cm^2 , 20 mA/cm^2 , 25 mA/cm^2 และ 30 mA/cm^2 ตามลำดับ ในกราฟเดียวกัน แสดงดังรูปที่ 5.45



รูปที่ 5.45 ลักษณะสมบัติกระแสไฟฟ้าในต่อเวลาการเปิด-ปิด ไอระเหยของสารเคมีของอุปกรณ์ ตรวจจับไอระเหยของสารเคมี ที่ใช้ความหนาแน่นกระแสไฟฟ้าในการแอโนไดซ์เซชันต่างๆ กัน

จากรูปที่ 5.45 พบว่า อุปกรณ์ที่ใช้ความหนาแน่นกระแสไฟฟ้าในการแอโนไดซ์เซชัน 5 mA/cm^2 มีกระแสไฟฟ้าเริ่มต้นมีค่าสูงที่สุด ตามด้วยที่ความหนาแน่นกระแสไฟฟ้า 10 mA/cm^2 , 15 mA/cm^2 , 20 mA/cm^2 , 25 mA/cm^2 และ 30 mA/cm^2 ตามลำดับ เนื่องจากเมื่อใช้เวลาในการแอโนไดซ์เซชันเพิ่มมากขึ้น จะสังผลให้เปอร์เซ็นต์ความพรุนชั้นนาโนพอร์สซิลิคอนมีค่าเพิ่มขึ้น ให้ค่าความด้านทานของชั้นนาโนพอร์สซิลิคอนมีค่าเพิ่มขึ้น ปริมาณกระแสไฟฟ้าที่วัดได้จึงมีค่าลดลงตามลำดับ

ทำการเปรียบเทียบลักษณะสมบัติกระแสไฟฟ้าต่อเวลาการเปิด-ปิด ไอระเหยของสารเคมี ของอุปกรณ์ ตรวจจับไอระเหยของสารเคมีโดยใช้นาโนพอร์สซิลิคอนที่ใช้ความหนาแน่นกระแสไฟฟ้า 5 mA/cm^2 , 10 mA/cm^2 , 15 mA/cm^2 , 20 mA/cm^2 , 25 mA/cm^2 และ 30 mA/cm^2 ตามลำดับ ที่ระดับกระแสไฟฟ้าตอนเริ่มต้นเป็น 0 μA เพื่อทำการเปรียบเทียบคุณภาพกระแสไฟฟ้า ที่เพิ่มขึ้นของแต่ละอุปกรณ์ที่ใช้เวลาในการแอโนไดซ์เซชันต่างๆ และดังรูปที่ 5.46



รูปที่ 5.46 ลักษณะสมบัติกระแสไฟฟ้าต่อเวลาการเปิด-ปิด ไอระเหยของสารเคมีของอุปกรณ์ ตรวจจับ ไอระเหยของสารเคมี ที่ใช้ความหนาแน่นกระแสไฟฟ้าในการแอโนไดซ์ เชชันต่างๆ กัน ที่ระดับอ้างอิงเดียวกัน

จากรูปที่ 5.46 พนวณ ว่า อุปกรณ์ที่ใช้ความหนาแน่นกระแสไฟฟ้าในการแอโนไดซ์ เชชัน $10\text{ mA}/\text{cm}^2$ มีปริมาณกระแสไฟฟ้าที่เพิ่มขึ้นในการตรวจจับ ไอระเหยของสารเคมีประมาณ $3.1\text{ }\mu\text{A}$ ซึ่งมีค่ามากที่สุด รองลงมาคือ ความหนาแน่นกระแสไฟฟ้าในการแอโนไดซ์ เชชัน $15\text{ mA}/\text{cm}^2$, $20\text{ mA}/\text{cm}^2$, $5\text{ mA}/\text{cm}^2$, $25\text{ mA}/\text{cm}^2$ และ $30\text{ mA}/\text{cm}^2$ ตามลำดับ โดยจากข้อมูลข้างต้นอุปกรณ์ที่ใช้ความหนาแน่นกระแสไฟฟ้าในการแอโนไดซ์ เชชัน $10\text{ mA}/\text{cm}^2$ เมื่อมีการตรวจจับ ไอระเหยของสารเคมีกระแสไฟฟ้าจะเพิ่มขึ้นประมาณ $3.1\text{ }\mu\text{A}$ ใช้เวลาในการอั่มตัวประมาณ 30 วินาที และใช้เวลาในการกลับมาจุดเริ่มต้นเดิมประมาณ 40 วินาที ซึ่งใช้เวลาน้อยกว่าอุปกรณ์ที่ใช้ความหนาแน่นกระแสไฟฟ้าในการแอโนไดซ์ เชชันอื่นๆ เมื่อพิจารณาจากข้อมูลข้างต้นสามารถสรุปได้ว่า ความหนาแน่นกระแสไฟฟ้าในการแอโนไดซ์ เชชัน $10\text{ mA}/\text{cm}^2$ (เบอร์เซ็นต์ความพรุนประมาณ 69% ความหนาประมาณ $4.19\text{ }\mu\text{m}$) เป็นความหนาแน่นกระแสไฟฟ้าที่เหมาะสมในการแอโนไดซ์ เชชัน

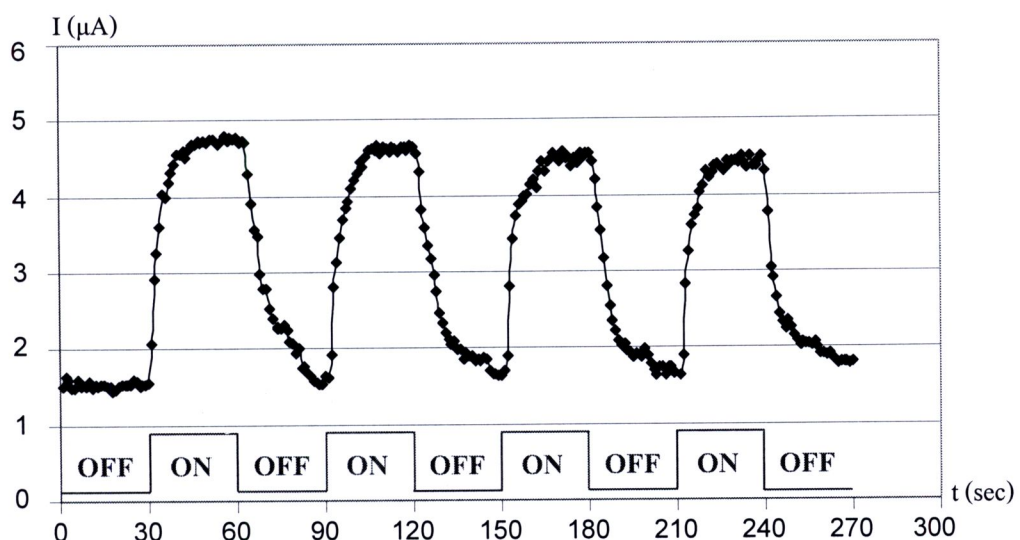
5.5 การทดลองเพื่อศึกษาอุปกรณ์ตรวจจับໄอระเหยของสารเคมีโดยใช้ชั้นนาโนพอร์สซิลิคอน

การทดลองนี้ศึกษาถึง ลักษณะสมบัติกระแสไฟฟ้าต่อการตรวจจับໄอระเหยของสารเคมีในลักษณะต่างๆ กันของชั้นนาโนพอร์สซิลิคอนที่สร้างด้วยวิธีการแอกโนไไซเซชัน อัตราส่วนสารละลายน้ำต่ำสูงอยู่ในอัตราส่วน 4:1 โดยปริมาตร เวลา 10 นาที ความหนาแน่นกระแสไฟฟ้า 10 mA/cm^2 ดังหัวข้อต่อไปนี้

5.5.1 การทดลองเพื่อศึกษาอุปกรณ์ตรวจจับໄอระเหยของสารเคมีต่อการตรวจจับໄอระเหยของสารเคมีแบบต่อเนื่อง

การทดลองนี้ศึกษาถึง การตรวจจับໄอระเหยของสารเคมีแบบต่อเนื่องของอุปกรณ์ตรวจจับໄอระเหยของสารเคมีโดยใช้ชั้นนาโนพอร์สซิลิคอนด้วยวิธีการแอกโนไไซเซชันที่ อัตราส่วนสารละลายน้ำต่ำสูงอยู่ในอัตราส่วน 4:1 โดยปริมาตร เวลา 10 นาที ความหนาแน่นกระแสไฟฟ้า 10 mA/cm^2 และทำการวัดลักษณะสมบัติกระแสไฟฟ้าต่อเวลาในการเปิดก๊าซในไตรเจน 30 วินาที ต่อมาระบุก๊าซในไตรเจนพสมกับไออกทานอล 30 วินาที และเปิดก๊าซในไตรเจน 30 วินาที และระบุก๊าซในไตรเจนพสมกับไออกทานอล 30 วินาที ต่อไปเรื่อยๆ 4 รอบ ที่ อุณหภูมิห้อง อัตราการไหล 1 l/min โดยใช้ออกทานอลบริสุทธิ์ แรงดันไฟฟ้า 20 โวลต์ แสดงดังรูปที่

5.47

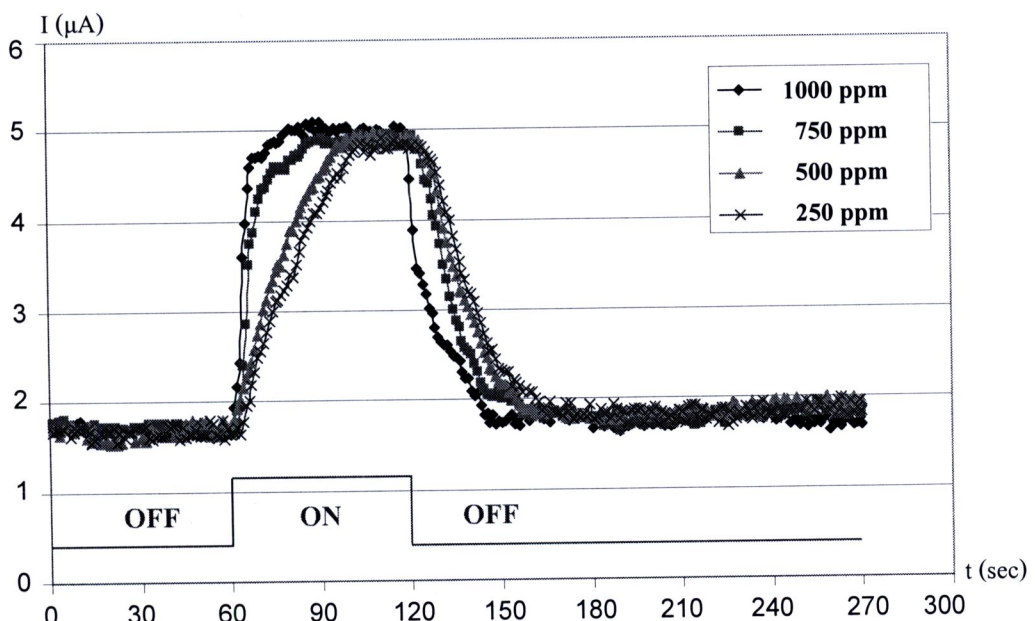


รูปที่ 5.47 ลักษณะสมบัติกระแสไฟฟ้าต่อเวลาการเปิด-ปิดໄอระเหยของสารเคมีของอุปกรณ์ตรวจจับໄอระเหยของสารเคมีที่ทำการวัดแบบต่อเนื่อง

จากรูปที่ 5.47 พนว่า เมื่อทำการตรวจจับ ไอระเหยของสารเคมีแบบต่อเนื่อง ปริมาณกระแสไฟฟ้าที่เปลี่ยนแปลงในแต่ละช่วงการตรวจจับจะมีค่าที่สอดคล้องกัน ดังนั้นอุปกรณ์ตรวจจับ ไอระเหยของสารเคมีโดยใช้ชั้นนาโนพอร์สซิลิคอนสามารถทำการตรวจจับ ไอระเหยของสารเคมี แบบต่อเนื่องได้

5.5.2 การทดลองเพื่อศึกษาผลของการเข้มข้น ไอระเหยของสารเคมีต่ออุปกรณ์ตรวจจับ ไอระเหยของสารเคมี

การทดลองนี้ศึกษาถึง ผลของการเข้มข้น ไอระเหยของสารเคมี (part per million : ppm) ต่ออุปกรณ์ตรวจจับ ไอระเหยของสารเคมีโดยใช้ชั้นนาโนพอร์สซิลิคอน ด้วยวิธีการแอโนไนไซเซชัน ที่ อัตราส่วนสารละลายครดไฮโดรฟลูออริกต่อเอทานอลเป็น 4:1 โดยปริมาตร เวลา 10 นาที ความหนาแน่นกระแสไฟฟ้า 10 mA/cm^2 วัดลักษณะสมบัติกระแสไฟฟ้าต่อเวลาในการเปิดก้าช ในโตรเจน 60 วินาที และปิดก้าช ในโตรเจนผสานกับ ไอเอทานอล 60 วินาที และเปิดก้าช ในโตรเจน 150 วินาที ที่อุณหภูมิห้อง โดยใช้เอทานอลบริสุทธิ์ แรงดันไฟฟ้า 20 โวลต์ ความเข้มข้น ไอระเหยของสารเคมีเปลี่ยนแปลงเป็น 250 ppm, 500 ppm, 750 ppm และ 1000 ppm ตามลำดับ แสดงดังรูปที่ 5.48



รูปที่ 5.48 ลักษณะสมบัติกระแสไฟฟ้าต่อเวลาการเปิด-ปิด ไอระเหยของสารเคมีของอุปกรณ์ตรวจจับ ไอระเหยของสารเคมีที่ความความเข้มข้น ไอระเหยของสารเคมีต่างๆ กัน

จากรูปที่ 5.48 พบว่า เมื่อทำการตรวจจับ ไอระเหยของสารเคมีที่ความความเข้มข้น ไอระเหยของสารเคมีต่างๆ กัน จะได้ผลการทดลองดังนี้

- ความเข้มข้น ไอระเหยของสารเคมี 250 ppm ปริมาณกระแสไฟฟ้าที่เพิ่มขึ้นมีค่าประมาณ $3.1 \mu\text{A}$ เมื่อมีการตรวจจับ ไอระเหยของสารเคมีกระแสไฟฟ้าจะเพิ่มขึ้นเรื่อยๆ ใช้เวลาในการอั่มตัวประมาณ 45 วินาที และเมื่อทำการปิด ไอระเหยของสารเคมีกระแสไฟฟ้าจะลดลงเรื่อยๆ ใช้เวลาในการกลับมาจุดเริ่มต้นเดิมประมาณ 50 วินาที

- ความเข้มข้น ไอระเหยของสารเคมี 500 ppm ปริมาณกระแสไฟฟ้าที่เพิ่มขึ้นมีค่าประมาณ $3.1 \mu\text{A}$ เมื่อมีการตรวจจับ ไอระเหยของสารเคมีกระแสไฟฟ้าจะเพิ่มขึ้นเรื่อยๆ จะใช้เวลาในการอั่มตัวประมาณ 40 วินาที และเมื่อมีการปิด ไอระเหยของสารเคมีกระแสไฟฟ้าจะลดลงเรื่อยๆ ใช้เวลาในการกลับมาจุดเริ่มต้นเดิมประมาณ 45 วินาที

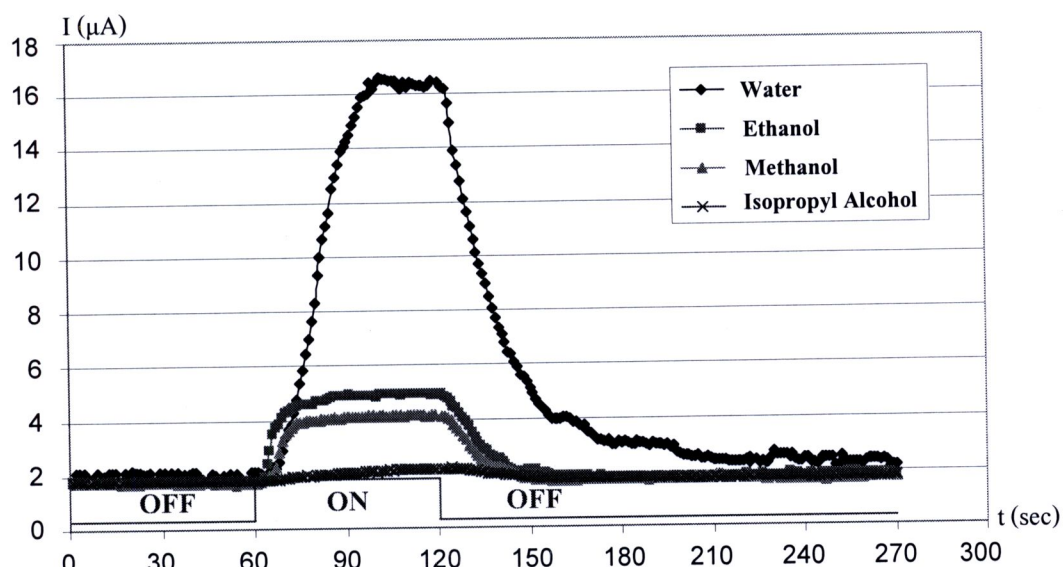
- ความเข้มข้น ไอระเหยของสารเคมี 750 ppm ปริมาณกระแสไฟฟ้าที่เปลี่ยนแปลงมีค่าประมาณ $3.1 \mu\text{A}$ เมื่อมีการตรวจจับ ไอระเหยของสารเคมีกระแสไฟฟ้าจะเพิ่มขึ้นเรื่อยๆ จะใช้เวลาในการอั่มตัวประมาณ 30 วินาที และเมื่อมีการปิด ไอระเหยของสารเคมีกระแสไฟฟ้าจะลดลงเรื่อยๆ ใช้เวลาในการกลับมาจุดเริ่มต้นเดิมประมาณ 40 วินาที

- ความเข้มข้น ไอระเหยของสารเคมี 1000 ppm ปริมาณกระแสไฟฟ้าที่เปลี่ยนแปลงมีค่าประมาณ $3.1 \mu\text{A}$ เมื่อมีการตรวจจับ ไอระเหยของสารเคมีกระแสไฟฟ้าจะเพิ่มขึ้นเรื่อยๆ จะใช้เวลาในการอั่มตัวประมาณ 20 วินาที และเมื่อมีการปิด ไอระเหยของสารเคมีกระแสไฟฟ้าจะลดลงเรื่อยๆ ใช้เวลาในการกลับมาจุดเริ่มต้นเดิมประมาณ 20 วินาที

พิจารณาจากข้อมูลทั้งหมดข้างต้นสามารถสรุปได้ว่า เมื่อปริมาณความเข้มข้น ไอระเหยของสารเคมีเพิ่มขึ้นจาก 250 ppm, 500 ppm, 750 ppm, 1000 ppm จะส่งผลทำให้เวลาในการเพิ่มขึ้นของกระแสไฟฟ้าจะนิ่งเกิดการอั่มตัวในการตรวจจับ ไอระเหยของสารเคมีจะใช้เวลาประมาณ 45 วินาที, 40 วินาที, 30 วินาที และ 20 วินาที ตามลำดับ ซึ่งจะใช้เวลาสั้นลง และทำให้เวลาในการลดลงของกระแสไฟฟ้าจะนิ่งกับการอั่มตัวจะใช้เวลาประมาณ 50 วินาที, 45 วินาที, 40 วินาที และ 20 วินาที ตามลำดับ ซึ่งจะใช้เวลาสั้นลง เช่นกัน ส่วนปริมาณกระแสไฟฟ้าที่เพิ่มขึ้นจะเกิดการอั่มตัวจะมีค่าใกล้เคียงกับประมาณ $3.1 \mu\text{A}$ ดังนั้นอุปกรณ์ตรวจจับ ไอระเหยของสารเคมีโดยใช้ชั้นนาโนพอร์สเซซิลิกอนสามารถทำการตรวจจับ ไอระเหยของสารเคมีที่ความเข้มข้น ไอระเหยของสารเคมีต่างๆ กันได้

5.5.3 การทดลองเพื่อศึกษาผลของไօสารเคมีต่างชนิดกันต่ออุปกรณ์ตรวจจับไօระเหยของสารเคมี

การทดลองนี้จะศึกษาถึง ผลของไօสารเคมีต่างชนิดกันต่ออุปกรณ์ตรวจจับไօระเหยของสารเคมีโดยใช้ชั้นนาโนพอร์สซิลิคอนด้วยวิธีการแอโนไดซ์เซ็นท์ อัตราส่วนสารละลายกรดไօโครฟลูออริกต่อเอทานอลเป็น 4:1 โดยปริมาตร เวลา 10 นาที ความหนาแน่นกระแสไฟฟ้า 10 mA/cm^2 ที่อุณหภูมิห้อง อัตราการไหล 1 l/min แรงดันไฟฟ้า 20 โวลต์ โดยเปิดก๊าซในโตรเจนผสมกับไอน้ำ, ไօเอทานอล, ไօเมทานอล และไօโซโพรพิวเรเหยของสารเคมี ตามลำดับ แสดงดังรูปที่ 5.51



รูปที่ 5.51 ลักษณะสมบัติกระแสไฟฟ้าต่อเวลาการเปิด-ปิด ไօสารเคมีต่างชนิดกันของอุปกรณ์ตรวจจับไօระเหยของสารเคมี

จากรูปที่ 5.51 พบร่วมกันว่า เมื่อทำการตรวจจับ ไօสารเคมีต่างชนิดกัน จะได้ผลการทดลอง ดังนี้

- ไอน้ำ (H_2O) ปริมาณกระแสไฟฟ้าที่เปลี่ยนแปลงมีค่าประมาณ $14.3 \mu\text{A}$ เมื่อมีการตรวจจับไอน้ำกระแสไฟฟ้าจะเพิ่มขึ้นเรื่อยๆ ใช้เวลาในการอิ่มตัวประมาณ 45 วินาที และเมื่อมีการปิดไอน้ำกระแสไฟฟ้าจะลดลงเรื่อยๆ ใช้เวลาในการกลับมาจุดเริ่มต้นเดิมประมาณ 110 วินาที

- ไօเอทานอล ($\text{C}_2\text{H}_5\text{OH}$) ปริมาณกระแสไฟฟ้าที่เปลี่ยนแปลงมีค่าประมาณ $3.1 \mu\text{A}$ เมื่อมีการตรวจจับไօเอทานอลกระแสไฟฟ้าจะเพิ่มขึ้นเรื่อยๆ ใช้เวลาในการอิ่มตัวประมาณ 30 วินาที และเมื่อมีการปิดไօเอทานอลกระแสไฟฟ้าจะลดลงเรื่อยๆ ใช้เวลาในการกลับมาจุดเริ่มต้นเดิมประมาณ 40 วินาที

- ไօเมทานอล (CH_3OH) ปริมาณกระแสไฟฟ้าที่เปลี่ยนแปลงมีค่าประมาณ $2.4 \mu\text{A}$ เมื่อมีการตรวจจับไօเมทานอลกระแสไฟฟ้าจะเพิ่มขึ้นเรื่อยๆ ใช้เวลาในการอิ่มตัวประมาณ 30 วินาที

และเมื่อมีการปิด ไอเมทานอลกระແສไฟฟ้าจะลดลงเรื่อยๆ จะใช้เวลาในการกลับมาจุดเริ่มต้นเดิมประมาณ 30 วินาที

- ไอโซโซโรพิวรรheyของสารเคมี ($(CH_2)_2CHOH$) ปริมาณกระແສไฟฟ้าที่เปลี่ยนแปลงมีค่าประมาณ $0.4 \mu A$ เมื่อมีการตรวจจับ ไอโซโซโรพิวรรheyของสารเคมีกระແສไฟฟ้าจะเพิ่มขึ้นเรื่อยๆ จะใช้เวลาในการอั่มตัวนานกว่า 60 วินาที และเมื่อมีการปิด ไอโซโซโรพิวรรheyของสารเคมีกระແສไฟฟ้าจะลดลงเรื่อยๆ ใช้เวลาในการกลับมาจุดเริ่มต้นเดิมประมาณ 40 วินาที

เมื่ออุปกรณ์ตรวจจับ ไอระเหยของสารเคมีโดยใช้ชั้นนาโนพอร์สซิลิคอน ทำการตรวจจับ ไอสารเคมีต่างชนิดกัน ปริมาณกระແສไฟฟ้าที่เปลี่ยนแปลงต่อการตรวจจับ ไอน้ำ มีค่ามากที่สุด รองลงมาคือ ไอเอทานอล ไอเมทานอล และ ไอโซโซโรพิวรรheyของสารเคมี ตามลำดับ โดยปริมาณกระແສไฟฟ้าที่เปลี่ยนแปลงต่อการตรวจจับ ไอสารเคมีในแต่ละชนิดมีค่าไม่เท่ากัน ดังนั้น อุปกรณ์ตรวจจับ ไอระเหยของสารเคมีโดยใช้ชั้นนาโนพอร์สซิลิคอนสามารถทำการตรวจจับ ไอสารเคมีต่างชนิดกันได้อีกด้วย